



# OFICINA ESPAÑOLA DE PATENTES Y MARCAS

**ESPAÑA** 



11) Número de publicación: 2 532 333

51 Int. Cl.:

**G01N 33/53** (2006.01) **G01N 33/68** (2006.01)

(12)

## TRADUCCIÓN DE PATENTE EUROPEA

**T3** 

- 96 Fecha de presentación y número de la solicitud europea: 27.04.2010 E 10769753 (4)
   97 Fecha y número de publicación de la concesión europea: 31.12.2014 EP 2426496
- (54) Título: Uso de megalina en orina como marcador para la detección de nefropatía por IgA
- (30) Prioridad:

#### 27.04.2009 JP 2009108493

(45) Fecha de publicación y mención en BOPI de la traducción de la patente: 26.03.2015

(73) Titular/es:

NIIGATA UNIVERSITY (33.3%) 8050 Ikarashi ni-nocho Nishi-ku Niigata-shi Niigata 950-2181, JP; JUNTENDO EDUCATIONAL FOUNDATION (33.3%) y DENKA SEIKEN CO., LTD. (33.3%)

(72) Inventor/es:

SAITO, AKIHIKO; TOMINO, YASUHIKO; ASANUMA, KATSUHIKO; OGASAWARA, SHINYA; KUROSAWA, HIROYUKI Y HIRAYAMA, YOSHIAKI

(74) Agente/Representante:

**FÚSTER OLAGUIBEL, Gustavo Nicolás** 

### **DESCRIPCIÓN**

Uso de megalina en orina como marcador para la detección de nefropatía por IgA

#### 5 CAMPO TÉCNICO

La presente invención se refiere al uso de megalina urinaria humana para el diagnóstico de nefropatía por IgA.

#### **ANTECEDENTES DE LA INVENCION**

10

35

65

La megalina es una glucoproteína expresada en las células epiteliales tubulares renales proximales con un peso molecular de aproximadamente 600 kDa. Es también conocida como glucoproteína 330 (gp330) o proteína relacionada con el receptor de lipoproteína de baja densidad 2 (LDL) (LRP2) (documentos no de patente 1 y 2).

- La megalina sirve como receptor endocítico asociado a la endocitosis/resorción de una proteína o similar en el lumen tubular proximal del riñón antes de la excreción urinaria. Se degrada entonces un ligando de la proteína resorbida o similar por un lisosoma en las células epiteliales tubulares proximales (documento no de patente 3).
- Clínicamente, un paciente con nefropatía diabética está aquejado en primer lugar por diabetes, y el paciente desarrolla entonces microalbuminuria, que conduce a una proteinuria continuada y después a insuficiencia renal terminal. Se presenta una investigación que destaca la importancia de la hiperfiltración glomerular y la microalbuminuria como cuadros clínicos que aparecen en una etapa temprana de la nefropatía. Específicamente, se conocía que los pacientes con diabetes de tipo I exhiben aumentos del flujo sanguíneo renal y de la tasa de filtración glomerular en la fase temprana de la enfermedad, se destacó entonces el desarrollo de microalbuminuria como un cambio de fase temprana que da como resultado el desarrollo futuro de nefropatía, y se propuso el concepto de etapa temprana de nefropatía. Además, se descubrió que la cantidad de albúmina excretada en la orina aumentaba a niveles anormales en esta etapa, aunque no conducía al desarrollo de proteinuria. Por tanto, dicho síntoma se designó como "microalbuminuria" (documento no de patente 4).
- Después de ello, se estableció la importancia clínica de la "microalbúmina" por Mogensen C. E., Viberti G. C. et al., y la presencia de microalbuminuria está fuertemente correlacionada con la progresión posterior a nefropatía. Por tanto, se usa la microalbúmina para diagnóstico clínico actualmente. Se ha reseñado que la microalbuminuria está causada por el equilibrio y fallo de funciones de filtración glomerular y resorción tubular (documentos no de patente 5. 6, 7, 8, 9 y 10).

Se ha reseñado también que la resorción tubular de albúmina está causada por endocitosis mediada por megalina (documentos no de patente 11, 12, 13, 14, 15, 16, 17, 18 y 19).

- Cuando un trastorno renal progresa desde microalbuminuria, se desarrolla una proteinuria continuada (concretamente proteinuria manifiesta). En esta etapa, se encuentran resultados positivos de proteinuria continuamente con el uso de una prueba de tira de papel, y la enfermedad se vuelve detectable por chequeos médicos en esta etapa.
- Según el informe de Araki S. *et al.*, los resultados de un estudio de seguimiento de 6 años del tratamiento de 216 casos de nefropatía en etapa temprana demostraron que un 51 % de los casos exhibían remisión de la nefropatía (concretamente, mejoraron a albuminuria normal), que apareció con más frecuencia que la progresión (concretamente, progresión hasta nefropatía manifiesta, 28 %) (documento no de patente 22).
- Como resultado del análisis, se han ejemplificado 4 factores asociados a la remisión; (i) una duración corta 50 después del desarrollo de microalbuminuria; (ii) el uso de un inhibidor del sistema de renina-angiotensina, (iii) una presión sanguínea sistólica baja y (iv) suficiente control del azúcar en sangre. Específicamente, el diagnóstico temprano, reconocimiento de condiciones patológicas y gestión terapéutica de los trastornos renales se consideran importantes para prevenir el avance de la nefropatía diabética. Son procedimientos de tratamiento básicos para nefropatía diabética (1) control del azúcar en sangre, (2) control de la presión sanguínea, (3) supresión del sistema 55 de renina-angiotensina, (4) control de lípidos, (5) terapia alimentaria (restricción de la toma de sal y proteínas) y (6) mejora de las costumbres del estilo de vida, tales como abstinencia del tabaco. Para inhibir el desarrollo y progresión de la nefropatía, es necesario un tratamiento preciso y activo basado en evidencias logradas por estudios clínicos. Respecto al control del azúcar en sangre, se han logrado evidencias por DCCT, UKPDS y el estudio de Kumamoto de que ha sido importante para la prevención de la progresión de nefropatía. Respecto a la 60 importancia del control de la presión sanguínea, se han acumulado muchas evidencias, incluyendo sobre inhibidores de ACE y ARB.
  - Entre los síntomas de glomerulonefritis crónica, en contraposición, se observan proliferación de células mesangiales glomerulares, agrandamiento de la matriz mesangial (hiperplasia) y depósitos granulares (principalmente de IgA) en la región mesangial en el caso de nefropatía por IgA. El diagnóstico de nefropatía por IgA se confirma por biopsia renal. La nefropatía por IgA se detecta a menudo basándose en anormalidades

5

10

15

20

25

30

urinarias asintomáticas. La hematuria microscópica continua es inevitable, y se observan ocasionalmente proteinuria intermitente o continua y hematuria macroscópica. La hematuria macroscópica aparece a menudo con infección aguda del tracto respiratorio superior. El diagnóstico de anormalidad urinaria requiere al menos tres casos de análisis de orina y al menos dos estos casos implican la visualización microscópica de sedimentos urinarios, que se realizan además del análisis cualitativo general de orina. Se observan altos niveles séricos de IgA de 315 mg/dl o mayores en la mitad de los pacientes. No debería despreciarse una anormalidad urinaria asintomática leve. Los datos de laboratorio sobre nefropatía por IgA son útiles para la evaluación de la actividad y progresión de trastornos renales. Se observa solo hematuria en la etapa temprana, y la proteinuria se desarrolla junto con la progresión de etapas de la enfermedad. Los ejemplos de factores desfavorables incluyen alta presión sanguínea, evolución de proteinuria leve a alta y disfunción renal observada en el primer examen médico. Por tanto, son necesarios una evaluación integral de los diversos datos de laboratorio y un tratamiento adecuado de acuerdo con la actividad de glomerulonefritis y progresión del trastorno renal. Puesto que la nefropatía por IgA se detecta a menudo accidentalmente por proteinuria/hematuria, se requiere en primer lugar un diagnóstico diferencial de hematuria. Se efectúa entonces una biopsia renal como diagnóstico definitivo. Existen contraindicaciones implicada en la biopsia renal, y existen muchas restricciones. En el ámbito clínico actual, la biopsia renal no puede efectuarse en muchos casos y, actualmente, no existe una indicación sólida exacta de si debería llevarse a cabo o no biopsia renal. En la biopsia renal para diagnóstico definitivo, se evalúan los síntomas de glomeruloesclerosis de focales y segmentados a difusos y globales (esféricos) con el uso de cambios proliferativos mesangiales como indicadores en datos de microscopía óptica, y se evalúan los síntomas de glomeruloesclerosis difusa con el uso de deposición de IgA granular principalmente en la región mesangial como indicador para el procedimiento de anticuerpo de agente fluorescente o procedimiento de anticuerpo de enzima (concretamente, IgA es dominante sobre las demás inmunoglobulinas). Se realiza la evaluación con la deposición de sustancias de alta densidad electrónica en la matriz mesangial (centrada en la región paramesangial, en particular) como indicador para datos de microscopía electrónica. Se determina el pronóstico basado en la biopsia renal basándose en los datos histológicos de las imágenes de microscopía óptica de muestras de biopsia renal, y se dividen los pacientes en los siguientes 4 grupos.

- 1) Grupo de buen pronóstico: el grupo con poca probabilidad de progresión hasta terapia de diálisis. Datos glomerulares: se observa una proliferación leve de células mesangiales y matriz aumentada. No se observa glomeruloesclerosis, formación de medias lunas ni adhesión a la cápsula de Bowman. Datos tubulares, intersticiales y vasculares: no se observan cambios destacados en el túbulo renal, el intersticio ni los vasos sanguíneos.
- Grupo de pronóstico relativamente bueno: el grupo con menos probabilidad de progresión hasta terapia de diálisis.
   Datos glomerulares: se observa una proliferación leve de células mesangiales y matriz aumentada. Se observan glomeruloesclerosis, formación de medias lunas y adhesión a la cápsula de Bowman en menos de un 10 % de los glomérulos de la biopsia.
- Datos tubulares, intersticiales y vasculares: no se observan cambios destacados en el túbulo renal, el intersticio ni los vasos sanguíneos.
  - 3) Grupo de pronóstico relativamente malo: el grupo con probabilidad de transición hasta terapia de diálisis en 5 a 20 años.
- Datos glomerulares: se observan proliferación moderada de células mesangiales y matriz aumentada. Se observan glomeruloesclerosis, formación de medias lunas y adhesión a la cápsula de Bowman en 10 a 30 % de los glomérulos de la biopsia.
- Datos tubulares, intersticiales y vasculares: se observan una ligera atrofia tubular, ligera infiltración celular en el intersticio, excepto alrededor de algunos glomérulos esclerosados, y una leve esclerosis vascular en los vasos sanguíneos.
  - 4) Grupo de mal pronóstico: el grupo con probabilidad de transición hasta terapia de diálisis al cabo de 5 años.
- Datos glomerulares: se observan proliferación grave de células mesangiales y matriz aumentada. Se observan glomeruloesclerosis, formación de medias lunas y adhesión a cápsula de Bowman en un 30 % o más de los glomérulos de biopsia. Cuando los sitios de esclerosis se suman y se convierten en esclerosis global, adicionalmente la tasa de glomeruloesclerosis es de 50 % o más. Se observa ocasionalmente hipertrofia glomerular compensatoria.
  - Datos tubulares, intersticiales y vasculares: se observan atrofia tubular, infiltración celular intersticial y fibrosis graves. Se observa ocasionalmente hiperplasia o degeneración en algunas paredes arteriolares renales.
- La base para la medicación de nefropatía por IgA es una selección del fármaco adecuado para las condiciones patológicas de cada paciente. La terapia con esteroides corticosuprarrenales es adecuada para un caso con aclaramiento de creatinina (Ccr) de 70 ml/min o superior, proteína urinaria de 1 a 2 g/día y síntomas de inflamación

aguda detectados por la biopsia renal como síntomas principales. En contraposición, la terapia farmacológica que implica el uso de inhibidores del sistema de renina-angiotensina o aceite de pescado se selecciona para casos que implican principalmente lesiones crónicas y que exhiben una progresión lenta. Las funciones renales de los pacientes del grupo de mal pronóstico que exhiben una disfunción renal moderada o grave y que implican principalmente lesión esclerosante crónica no pueden mantenerse solo mediante terapia de esteroides durante un largo periodo de tiempo, y se ha esperado el desarrollo de técnicas terapéuticas eficaces capaces de mejorar el pronóstico de las funciones renales. Además, se emplea ocasionalmente el uso de agentes antiplaquetarios, terapia anticoagulante, terapia de Kurernejin, terapia de tonsilectomía o similares. La nefropatía por IgA aparece a corta edad, y un 30 a 40 % de los pacientes desarrollan insuficiencia renal terminal. Las cargas económicas y sociales son importantes cuando un paciente tiene que empezar el tratamiento de diálisis a corta edad. Como se describe anteriormente, no existen indicadores exactos y precisos de diagnóstico diferencial o predicción del pronóstico que posibilite el diagnóstico de nefropatía por IgA actualmente.

10

35

40

45

50

55

60

65

El número de paciente con insuficiencia renal terminal que necesitan diálisis está creciendo en todo el mundo, y es un problema grave en términos de economía médica. La predicción y el diagnóstico de condiciones patológicas de los trastornos renales y, en particular, nefropatía diabética o nefropatía por IgA, son los más críticos para proporcionar un tratamiento adecuado. Sin embargo, la exactitud de las técnicas de diagnóstico convencionales es insuficiente para una predicción del pronóstico o diagnóstico de la graduación del trastorno.

En la etapa precedente a nefropatía diabética, no se observa microalbuminuria en la orina, y la nefropatía no puede detectarse basándose en datos clínicos actuales. Se deduce que aparece una albuminuria mínima en la etapa temprana de la nefropatía. Incluso si las funciones renales son normales, o a veces aceleradas, pueden estar presentes lesiones nodulares en los glomérulos en esta etapa. Por tanto, sigue siendo problemático si la microalbuminuria es útil o no como indicador del diagnóstico temprano de nefropatía diabética. En los últimos años, se ha encontrado un caso de trastorno renal rápidamente progresivo que conduce a insuficiencia renal (nefropatía diabética de etapa IV) sin la etapa de albuminuria manifiesta (nefropatía diabética de etapa III (etapa de nefropatía manifiesta)) en los grupos de pacientes de nefropatía diabética que exhiben microalbuminuria (nefropatía diabética de etapa II; etapa temprana de nefropatía). Por tanto, se ha discutido la posible naturaleza problemática de la importancia clínica del uso de la albuminuria para la predicción del pronóstico de una enfermedad renal y para el diagnóstico preciso y temprano de la graduación del trastorno (progresión de condiciones patológicas) como indicador (Perkins B. A., Krolewski A. S. et al., 2007, J. Am. Soc. Nephrol. 18 (4), 1353-1361; de Boer I. H., Steffes M. W., 2007, J. Am. Soc. Nephrol. 18 (4), 1036-1037).

El pronóstico de nefropatía por IgA se clasifica histológicamente basándose en los datos de la biopsia renal, y se usan los resultados para predicción del pronóstico y determinación del curso de tratamiento. Sin embargo, existen algunas restricciones sobre la biopsia renal, y la aplicación de biopsia renal está limitada a los siguientes casos: i) se observa 1,0 g o más de proteína en orina al día; ii) aunque se observa un trastorno renal de etiología desconocida, no se observa atrofia renal mediante una prueba de formación de imágenes; iii) se sospecha glomerulonefritis crónica con hematuria continua y progresiva y iv) se reducen rápidamente las funciones renales. Por su lado, las contraindicaciones de la biopsia renal son las siguientes: i) ya se ha observado atrofia renal mediante la prueba de formación de imágenes debido a disfunciones renales crónicas; ii) es difícil detener la hemorragia debido a la tendencia a sangrar o una hipertensión sanguínea incontrolable; iii) el paciente tiene un riñón poliquístico y iv) el paciente no puede mantenerse quieto o seguir las instrucciones durante la biopsia renal o durante y después del ensayo. En el ámbito clínico actual, la biopsia renal no puede efectuarse en muchos casos, y no existen actualmente indicadores exactos y definitivos para la determinación de si la biopsia renal debería efectuarse o no.

Además de los trastornos renales crónicos representados por la nefropatía diabética y la nefropatía por IgA descritos anteriormente, la lesión renal aguda (AKI) ha atraído la atención y se ha convertido en un tema de interés. Respecto a la AKI, las anormalidades funcionales de la hemodinámica renal se han considerado como críticas, además de las anormalidades estructurales (concretamente, necrosis tubular aguda) en los últimos años.

El término "insuficiencia renal aguda" hace referencia a una afección en que las funciones renales se reducen rápidamente, y muchos casos de insuficiencia renal aguda se caracterizan por funciones renales reducidas causadas por necrosis tubular. Las causas de la insuficiencia renal aguda incluyen insuficiencia renal prerrenal, insuficiencia renal intrínseca e insuficiencia renal postrrenal. La insuficiencia renal prerrenal aparece cuando el riñón se expone a isquemia mediante un volumen de fluido extracelular reducido debido a hemorragia por lesión, deshidratación, vómitos y diarrea, volumen de sangre en circulación eficaz reducido debido a choque cardiogénico y flujo sanguíneo renal reducido debido a aneurisma disecante de aorta o trombosis arterial renal. La insuficiencia renal intrínseca es un trastorno impuesto directamente al tejido renal, tal como en enfermedades glomerulares (por ejemplo, glomerulonefritis aguda, glomerulonefritis rápidamente progresiva y poliarteritis nodular), necrosis tubular aguda (causada por el uso de un antibiótico aminoglucosídico, un agente antiinflamatorio y analgésico, un agente antiinflamatorio o medio de contraste), o glomerulonefritis intersticial aguda (causada por el uso de un antibiótico βlactámico, un agente antiinflamatorio o analgésico o un anticonvulsivo). En el caso de insuficiencia renal postrrenal, se obstruye el flujo de orina y se evita la excreción de orina por obstrucción ureteral (cálculo ureteral), obstrucción vesical y uretral (hipertrofia prostática y cáncer de próstata) o tumores pélvicos.

Muchos daños renales agudos requieren controles de UCI después de cardiotomía y cirugía de reemplazo de aorta, y se requiere el reconocimiento de las condiciones patológicas cada hora después del desarrollo de la enfermedad. Actualmente, no puede esperarse una mejora del pronóstico vital de insuficiencia renal aguda sin un diagnóstico temprano e intervención inmediata.

Actualmente, la insuficiencia renal aguda se diagnostica en general basándose en los niveles de creatinina en suero y orina; sin embargo, el diagnóstico basado en estos dos elementos tiene un problema. Es decir, no se han establecido estándares de diagnóstico para estos dos elementos, y había 35 definiciones diferentes de insuficiencia renal aguda. Para resolver este problema, se estableció la red de insuficiencia renal aguda como un esfuerzo global y se propusieron estándares de diagnóstico para insuficiencia renal aguda. Según estos estándares de diagnóstico, una persona se diagnostica que tiene insuficiencia renal aguda cuando (1) el nivel de creatinina en suero aumenta 1,5 veces o más o es de 0,3 mg/dl o más y (2) una oliguria de 0,5 ml/kg/hora continúa durante 6 horas o más. Como con el caso de la clasificación de la etapa de enfermedad renal crónica, se propone en particular la clasificación de la etapa de insuficiencia renal aguda (por ejemplo, clasificación RIFLE o AKIN).

Sin embargo, el diagnóstico basado en los dos elementos descritos anteriormente sigue teniendo problemas. El nivel de creatinina en suero no se eleva inmediatamente cuando se reduce la tasa de filtración glomerular debido a un trastorno renal. El nivel de creatinina en suero continúa aumentando ocasionalmente durante un tiempo aunque la tasa de filtración glomerular tenga tendencia a la recuperación. Por tanto, la utilidad del nivel de creatinina en suero como marcador temprano para monitorizar cambios agudos o marcador para monitorizar los efectos terapéuticos o la predicción del pronóstico no puede decirse que sea satisfactoria. Además, el nivel de creatinina en suero es probable que esté influido por factores extrarrenales, tales como peso corporal, raza, sexo, fármacos, metabolismo muscular o condiciones nutricionales. Puesto que el diagnóstico basado en el nivel de orina lleva un largo tiempo, tampoco es adecuado para marcador de insuficiencia renal aguda, que requiere el reconocimiento de las condiciones patológicas cada hora después del desarrollo de la enfermedad. Por lo tanto, es una necesidad urgente el desarrollo de un biomarcador que posibilite una medida temprana sencilla, sea menos probable que se influya por otros factores biológicos y posibilite una detección temprana, clasificación del riesgo y predicción del pronóstico de una enfermedad.

El documento EP 2.006.683A1 da a conocer un procedimiento que puede aplicarse al diagnóstico de enfermedad renal o pulmonar mediante la detección de megalina humana, comprendiendo dicho procedimiento detectar cuantitativamente megalina que se expresa tópica y específicamente en células, tejidos y órganos donde se observa expresión de megalina de manera rápida y sencilla, para posibilitar así un diagnóstico directo y temprano del grado en que las células, tejidos y órganos están afectados y mejorar y evitar el empeoramiento de las condiciones de los trastornos y el pronóstico mediante tratamiento.

#### Documentos de la técnica anterior

40 [Documentos de patente]

5

10

15

20

25

30

35

65

Documento de patente 1: WO 2007/119563

[Documentos no de patente]

45 Documento no de patente 1: Christensen E. I, Willnow T. E., 1999, J. Am. Soc. Nephrol. 10, 2224-2236 Documento no de patente 2: Zheng G, McCluskey R. T. et al., 1994, J. Histochem. Cytochem. 42, 531-542 Documento no de patente 3: Mausbach A. B., Christensen E.I., 1992, "Handbook of physiology", Renal Physiology", Windhager, editor, Nueva York, Oxford University Press, 42-207 50 Documento no de patente 4: Keen R., Chlouverakis C., 1963, Lancet II, 913-916

Documento no de patente 5: Tojo A., Endou H. et al., 2001, Histochem. Cell. Biol. 116 (3), 269-276 Documento no de patente 6: Tucker B. J., Blantz R. C. et al., 1993, <u>J. Clin. Invest.</u> 92 (2), 686-694 Documento no de patente 7: Evangelista C., Capasso G. et al., 2006, G. Ital. Nefrol. 34, S16-20 Documento no de patente 8: Pollock C. A., Poronnik P., 2007, Curr. Opin. Nephrol. Hypertens. 16 (4), 359-364

Documento no de patente 9: Rippe C., Rippe B. et al., 2007, Am. J. Physiol. Renal. Physiol. 293 (5), FI533-1538

55 Documento no de patente 10: Blanz R. C., Thomson S. C. et al., 2007, <u>Trans. Am. Clin. Climatol. Assoc.</u> 118, 23-43 Documento no de patente 11: Hosojima M., Saito A. et al., 2008, <u>Endocriology</u>, 16 Documento no de patente 12: Baines R. J., Brunskill N. J., 2008, Nephron. Exp. Nephrol. 110 (2), e67-71

Documento no de patente 13: Motoyoshi Y., Ichikawa I. et al., 2008, Kidney. Int. 74 (10), 1262-1269

60 Documento no de patente 14: Vegt E., Boerman O. C. et al., 2008, J. Nucl. Med. 49 (9), 1506-1511 Documento no de patente 15: Haraldsson B., Deen W. M. et al., 2008, 88 (2), 451-487 Documento no de patente 16: Odera K., Takahashi R. et al., 2007, 8 (5), 505-515 Documento no de patente 17: Brunskill N., 2001, Am. J. Kidney. Dis. 37, S17-20 Documento no de patente 18: Cui S., Christensen E. I. et al., 1996, Am. J. Physiol. 271, F900-7

Documento no de patente 19: Saito A., Gejyo F. et al., 2005, Ann. N. Y. Acad. Sci. 1043, 637-643

Documento no de patente 20: Perkins B. A., Krolewski A. S. et al., 2007, J. Am. Soc. Nephrol. 18 (4), 1353-1361

Documento no de patente 21: de Boer I. H., Steffes M. W., 2007, <u>J. Am. Soc. Nephrol.</u> 18 (4), 1036-1037 Documento no de patente 22: Araki S., Sugimoto T. *et al.*, 2005, <u>Diabetes</u>. 54, 2983-2987 Documento no de patente 23: Tojo A., Fujita T. *et al.*, 2003, <u>Hypertens. Res.</u> 26 (5), 4 J3-419

#### 5 **DIVULGACIÓN DE LA INVENCIÓN**

20

25

30

35

40

45

55

65

La presente invención proporciona el uso de megalina urinaria humana como marcador para detectar nefropatía por IgA.

Como se describe anteriormente, se esperaba el desarrollo de un marcador de detección novedoso usado para la predicción del pronóstico de un trastorno renal y para el dictamen exacto y temprano de la graduación del trastorno (concretamente, la progresión de las condiciones patológicas) y de un procedimiento para detectar un trastorno renal usando dicho marcador en una etapa temprana. Sin embargo, no había dichos marcadores ni procedimientos de detección en el pasado. Dicho marcador posibilita la predicción del pronóstico de un trastorno renal y un dictamen exacto y temprano de la graduación del trastorno (concretamente, la progresión de las condiciones patológicas), y dicho marcador posibilita también atenciones preventivas dirigidas a la inhibición del desarrollo y progresión del trastorno renal progresivo.

Los presentes inventores han realizaron estudios concentrados para desarrollar un marcador novedoso usado para la predicción del pronóstico de un trastorno renal y un dictamen exacto y temprano de la graduación del trastorno (concretamente, la progresión de las condiciones patológicas). Como resultado, descubrieron un biomarcador al que se hace referencia como "megalina", que aparece en la orina cuando la condiciones patológicas empeoran en nefropatía diabética, que exhibe una alta incidencia con mal pronóstico y, en particular, en trastornos renales progresivos tales como nefropatía por IgA. Específicamente, descubrieron que la cantidad de megalina excretada en la orina de un paciente con un trastorno renal progresivo, tal como nefropatía por IgA, era mayor que la de un individuo sano, y por tanto era útil como marcador para predicción del pronóstico de un trastorno renal o diagnóstico de la graduación del trastorno (concretamente, la progresión de las condiciones patológicas). Además, los presentes inventores han desarrollado un kit de detección (no reivindicado) para detectar trastornos renales y, en particular nefropatía por IgA, con el uso de megalina como marcador. Cuando se usa dicho kit, se recoge una muestra de orina, se mide cuantitativamente el nivel de megalina humana en la orina con el uso de un reactivo de detección y se usa el nivel de excreción urinaria determinado como indicador de la predicción del pronóstico de un trastorno renal o diagnóstico de la graduación del trastorno (concretamente, la progresión de las condiciones patológicas). Con el uso de este kit de diagnóstico, pueden reconocerse las condiciones patológicas de un trastorno renal. La predicción del pronóstico de un trastorno renal y, en particular nefropatía por IgA, o diagnóstico de la graduación del trastorno (concretamente, la progresión de las condiciones patológicas) era difícil en el pasado. Sin embargo, el kit de diagnóstico de la divulgación posibilita la predicción o monitorización de los efectos terapéuticos y la provisión de procedimientos terapéuticos más eficaces.

Específicamente, la presente invención se define en las reivindicaciones.

#### **BREVE DESCRIPCIÓN DE LOS DIBUJOS**

La Fig. 1 muestra los resultados de la medida de la cantidad de megalina humana excretada en la orina (valor de corrección de creatinina) en casos de nefropatía diabética de tipo II (71 casos), nefropatía por IgA (81 casos) y síndrome nefrótico (18 casos).

La Fig. 2 muestra los resultados de la medida de la cantidad de megalina humana excretada en la orina (valor de corrección de creatinina) en otros varios casos de nefropatía.

La Fig. 3 muestra los resultados de la medida de la cantidad de megalina humana excretada en la orina (valor de corrección de creatinina) en casos de nefropatía por IgA (59 casos) basándose en la clasificación por pronóstico histológico (pronóstico conseguido mediante la clasificación histológica de biopsias renales).

La Fig. 4 muestra los resultados de la medida de la cantidad de megalina humana excretada en la orina (valor de corrección de creatinina) en casos de nefropatía diabética de tipo II (71 casos) clasificados de acuerdo con la clasificación de albuminuria (clasificación basada en la gravedad del trastorno) de acuerdo con la estadificación de la nefropatía diabética.

La Fig. 5 muestra la correlación entre la concentración de albúmina en orina (valor de corrección de creatinina) y la concentración de megalina humana en orina (valor de corrección de creatinina) en casos de individuos sanos (66 casos) y en casos de nefropatía diabética de tipo II (71 casos) de acuerdo con la estadificación de la nefropatía diabética.

La Fig. 6 muestra la compatibilidad de la concentración de megalina humana en orina (valor de corrección de creatinina) con la tasa de filtración glomerular aparente de acuerdo con la estadificación de la nefropatía diabética en casos de nefropatía diabética de etapas I a III (68 casos).

La Fig. 7 muestra la compatibilidad de la concentración de albúmina en orina (valor de corrección de creatinina) con la tasa de filtración glomerular aparente de acuerdo con la estadificación de la nefropatía diabética en casos de nefropatía diabética de etapas I a III (68 casos).

5

La Fig. 8 muestra los resultados de la medida de la cantidad de megalina humana excretada en la orina (valor de corrección de creatinina) en casos de pacientes con insuficiencia renal aguda. Las enfermedades subyacentes del grupo de trastornos renales agudos (5 casos) son: 1: infarto cerebral, 2: choque séptico causado por necrosis intestinal, 3: trasplante de hígado, 4: neumonía aguda e insuficiencia respiratoria y 5: choque cardiogénico.

10

20

#### REALIZACIONES PREFERIDAS DE LA INVENCIÓN

De aguí en adelante, se describe la presente invención con detalle.

La presente invención implica el uso de megalina humana en una muestra de orina como marcador para un trastorno renal. El trastorno renal es nefropatía por IgA.

La SEQ ID NO: 1 muestra la secuencia nucleotídica de la megalina humana y la SEQ ID NO: 2 muestra la secuencia aminoacídica de la megalina humana. La megalina humana en orina puede medirse mediante cualquier técnica. Por ejemplo, puede usarse un ligando capaz de unirse a megalina humana.

Según una realización, se usan dos ligandos capaces de unirse a megalina humana, el primer ligando se une a un soporte sólido y el segundo ligando se marca y se usa.

25 Puede usarse cualquier soporte sólido que se use en técnicas inmunoanalíticas convencionales. Por ejemplo, pueden usarse preferiblemente pocillos de una placa de microvaloración de plástico o partículas magnéticas. Es un ejemplo de ligando capaz de unirse a megalina humana un anticuerpo anti-megalina humana, y puede usarse un anticuerpo monoclonal o policional. La lectina, que es específica de una cadena de azúcar de la megalina humana, puede usarse como ligando capaz de unirse a megalina humana. Los ejemplos de lectina incluyen, pero sin 30 limitación, concanavalina A, aglutinina de germen de trigo (WGA), lectina de Ricinus communis (RCA) y lectina de Lens culinaris (LCA). Los ejemplos adicionales de ligandos capaces de unirse a megalina humana incluyen sustancias seleccionadas del siguiente grupo de sustancias o fragmentos capaces de unirse a la misma: proteínas de unión a vitamina tales como transcobalamina-vitamina B12, proteína de unión a vitamina D y proteína de unión a retinol; lipoproteínas tales como apolipoproteína B, apolipoproteína E, apolipoproteína J/clusterina v apolipoproteina H; hormonas y receptores de hormonas, tales como hormona paratiroidea (PTH), insulina, factor de 35 crecimiento epidérmico (EGF), prolactina, leptina y tiroglobulina, y receptores de las mismas; proteínas asociadas a la respuesta inmunitaria y al estrés tales como cadena ligera de inmunoglobulina y PAP-1 o β<sub>2</sub>-microglobulina: enzimas e inhibidores enzimáticos tales como PAI-I, PAI-I-urocinasa, PAI-I-tPA, prourocinasa, lipoproteina lipasa, plasminógeno,  $\alpha$ -amilasa,  $\beta$ -amilasa,  $\alpha_1$ -microglobulina y lisozima, e inhibidores de los mismos; fármacos y venenos tales como aminoglucósido, polimixina B, aprotinina y tricosantina; proteínas portadoras tales como 40 albúmina, lactoferrina, hemoglobina, proteína de unión sustancias odoríferas, transtiretina y L-FABP; y proteínas asociadas a receptor (RAP) tales como citocromo c, calcio (Ca<sup>2+</sup>), productos finales de glicación avanzada (AGE), cubilina e isoforma 3 intercambiadora de Na<sup>+</sup>-H<sup>+</sup> (NHE3). El término "fragmento capaz de unirse a" hace referencia a un fragmento de una sustancia anteriormente mencionada que contiene un sitio de unión a megalina humana.

45

50

Un anticuerpo anti-megalina humana o similar puede unirse a un soporte sólido de un ligando capaz de unirse a megalina humana mediante un procedimiento bien conocido en la técnica hasta ahora. Cuando un anticuerpo anti-megalina humana se une a un pocillo de una placa de microvaloración, puede aplicarse, por ejemplo una solución que comprende aproximadamente 3 a 10 µg/ml de anticuerpo (y preferiblemente aproximadamente 5 µg/ml) respecto a un ligando capaz de unirse a megalina humana, a un soporte sólido y dejarse reposar entonces el resultado a 4 °C durante una noche (y preferiblemente 12 horas o más). El intervalo de concentración recomendado de soporte sólido descrito anteriormente se determinó teóricamente al inmovilizar un anticuerpo completo en un soporte sólido. La fórmula teórica es como sigue, y se emplea cuando se inmoviliza un anticuerpo mediante adsorción física:

55

```
Q = (2/\sqrt{3}) \cdot (MW/N) \cdot (2r)^{-2} \cdot 10^9 \ (ng/cm^2)
Q: \ densidad \ del \ peso \ molecular \ (ng/cm^2)
MW: \ peso \ molecular \ (dalton: Da)
N: \ número \ de \ Avogadro= 6 \cdot 10^{23} \ (mol^{-1})
r: \ radio \ de \ Stokes \ de \ la \ molécula= \ (R \cdot T_{20})/(6 \cdot \pi \cdot \eta_{20} \cdot D_{20} \cdot N) \ (cm)
R: \ constante \ de \ los \ gases= 8,3 \cdot 10^7 \ (g \cdot cm^2 \cdot s^{-2} \cdot oK^{-1} \cdot mol^{-1})
T_{20}: \ temperatura \ ambiente \ (20 °C)= 293 °K
\eta_{20}: \ viscosidad \ del \ agua \ a \ 20 °C = 1 \cdot 10^{-2} \ (g \cdot cm^{-1} \cdot s^{-1})
D_{20}: \ coeficiente \ de \ difusión \ de \ la \ referencia \ molecular \ en \ agua \ a \ 20 °C \ (cm^2 \cdot s^{-1})
```

65

Cuando se inmoviliza un ligando capaz de unirse a megalina humana, se determinan en consecuencia las concentraciones teóricas de soportes sólidos influidas por factores variables tales como el peso molecular individual, y las concentraciones varían dependiendo de la especie molecular del soporte sólido individual y de las configuraciones de la superficie del soporte sólido. Por tanto, la concentración del soporte sólido no está limitada al intervalo descrito anteriormente. Cuando la adsorción al soporte sólido es el resultado de unión covalente, es aplicable la presente invención. Sin embargo, en dicho caso se tienen en consideración el número de grupos funcionales existentes sobre la superficie de adsorción y usados para unión covalente y otras condiciones. Por tanto, la concentración de soporte sólido no está limitada. Para bloquear la adsorción no específica de proteína después de la unión, se lleva a cabo el bloqueo con el uso de seroalbúmina bovina (abreviada de aquí en adelante como "BSA"), caseína o similar de acuerdo con una técnica convencional. Cuando el soporte sólido es una partícula magnética, se lleva a cabo el mismo procedimiento que el usado con el caso de placa de microvaloración.

10

15

20

25

30

35

40

45

50

55

60

65

Se deja reaccionar un ligando capaz de unirse a megalina humana, tal como un anticuerpo anti-megalina humana unido a un soporte sólido como se describe anteriormente, con una muestra de orina, y se une la megalina humana en la muestra de orina con un soporte sólido a través del ligando capaz de unirse a megalina humana unido a un soporte sólido mediante reacción de unión ligando-receptor, tal como una reacción antígeno-anticuerpo. Específicamente, se forma un combinado del primer ligando capaz de unirse a megalina humana, tal como un anticuerpo anti-megalina humana unido a un soporte sólido, con megalina humana. Esta reacción antígeno-anticuerpo puede llevarse a cabo preferiblemente a 4 a 45 °C, más preferiblemente a 20 a 40 °C y más preferiblemente a 25 a 38 °C. La duración de la reacción es preferiblemente de aproximadamente 10 minutos a 18 horas, más preferiblemente de 10 minutos a 1 hora, y preferiblemente además de 30 minutos a 1 hora.

Después de lavar, se deja reaccionar entonces el segundo ligando capaz de unirse a megalina humana con megalina humana en la muestra unido a un soporte sólido. Específicamente, se forma un combinado del primer ligando capaz de unirse a megalina humana, tal como un anticuerpo anti-megalina humana unido a un soporte sólido, megalina humana y el segundo ligando capaz de unirse a megalina humana. Puede usarse un anticuerpo anti-megalina humana u otra sustancia como segundo ligando capaz de unirse a megalina humana, como con el caso del primer ligando capaz de unirse a megalina humana. Cuando tanto el primer ligando capaz de unirse a megalina humana como el segundo ligando capaz de unirse a megalina humana son anticuerpos monoclonales anti-megalina humana, sin embargo, el epítopo reconocido y unido por el primer anticuerpo anti-megalina humana debería ser diferente del reconocido y unido por el segundo anticuerpo anti-megalina humana. Las combinaciones de primer anticuerpo anti-megalina humana y segundo anticuerpo anti-megalina humana pueden ser cualquiera de las siguientes: un anticuerpo monoclonal y un anticuerpo monoclonal, un anticuerpo monoclonal y un anticuerpo policional, un anticuerpo policional y un anticuerpo monocional y un anticuerpo policional y un anticuerpo policional. La reacción puede llevarse a cabo preferiblemente a 4 a 45 °C, más preferiblemente a 20 a 40 °C y además preferiblemente a 25 a 30 °C. La duración de la reacción es preferiblemente de aproximadamente 10 minutos a 18 horas, más preferiblemente de 10 minutos a 1 hora, y además preferiblemente de 30 minutos a 1 hora. Por tanto, el segundo ligando capaz de unirse a megalina humana puede unirse a un soporte sólido a través de megalina humana y el primer ligando capaz de unirse a megalina humana.

Después de lavar, se mide entonces el segundo ligando capaz de unirse a megalina humana, tal como el segundo anticuerpo anti-megalina humana, unido a un soporte sólido mediante diversas técnicas que se usan comúnmente en el campo del inmunoanálisis. Por ejemplo, el segundo ligando capaz de unirse a megalina humana se marca con una enzima, marcador fluorescente, biotina o marcador radiactivo para preparar una sustancia marcada enzimáticamente, y se mide el marcador. Por tanto, puede medirse el segundo ligando capaz de unirse a megalina humana unido a un soporte sólido. El marcaje con una enzima o marcador fluorescente es particularmente preferible. Los ejemplos de enzimas incluyen, pero sin limitación, peroxidasa, fosfatasa alcalina, β-galactosidasa y glucosa oxidasa. Es un ejemplo de marcador fluorescente el isotiocianato de fluoresceína (FITC), aunque los marcadores fluorescentes no están limitados al mismo. El marcaje puede detectarse dejando reaccionar el correspondiente sustrato con una sustancia marcada enzimáticamente y midiendo un pigmento, marcador fluorescente, luminiscente o similar resultante de la reacción. Cuando el segundo ligando capaz de unirse a megalina humana no está marcado, como alternativa, se deja reaccionar un tercer anticuerpo marcado que reacciona con el segundo ligando capaz de unirse a megalina humana.

El anticuerpo anti-megalina humana usado para inmovilización o marcaje puede ser un fragmento de inmunoglobulina específico de megalina humana, tal como Fab o F(ab')2, o un anticuerpo recombinante tal como scFv, dsFv, diacuerpo o minicuerpo, que se ha expresado en una sustancia recombinante. El término "anticuerpo" usado en la presente invención hace referencia también a dicho fragmento específico de megalina humana. Es bien conocido en la técnica un procedimiento para preparar dicho fragmento.

El procedimiento anterior comprende dos etapas: dejar reaccionar el primer ligando capaz de unirse a megalina humana, tal como un anticuerpo anti-megalina humana unido a un soporte sólido, con una muestra seguido de lavado, y dejar reaccionar entonces el segundo ligando capaz de unirse a megalina humana con el mismo. Como alternativa, puede llevarse a cabo simultáneamente como etapa individual una etapa de dejar reaccionar el primer ligando capaz de unirse a megalina humana, tal como un anticuerpo anti-megalina humana unido a un soporte

sólido, con una muestra, y una etapa de dejar reaccionar el segundo ligando capaz de unirse a una muestra y megalina humana.

La presente divulgación incluye también un procedimiento para medir megalina humana en una muestra usando megalina humana unida a un soporte sólido o un fragmento parcial de la misma y un ligando capaz de unirse a megalina humana, en el que se deja reaccionar una muestra con un ligando capaz de unirse a megalina humana, se deja reaccionar el producto de reacción con la megalina humana unida a un soporte sólido, se mide el ligando capaz de unirse a megalina humana unido a un soporte sólido y se cuantifica competitivamente la megalina humana en una muestra basándose en la reducción del ligando capaz de unirse a megalina humana unida a un soporte sólido. Para implantar este procedimiento, es necesario unir megalina humana a un soporte sólido, y esto puede llevarse a cabo mediante el procedimiento de unión de una sustancia a un soporte sólido como se describe anteriormente. El fragmento parcial de megalina humana no está limitado, y puede usarse un fragmento parcial de megalina humana al que pueda unirse un ligando capaz de unirse a megalina humana. Puede prepararse un fragmento parcial de megalina humana a partir de una secuencia parcial de la secuencia aminoacídica de megalina humana como se muestra en la SEQ ID NO: 2 mediante síntesis química o ingeniería genética. Pueden usarse ligandos capaces de unirse a megalina humana descritos anteriormente, siendo particularmente preferible un anticuerpo anti-megalina humana. En la técnica competitiva, es importante la cantidad de megalina humana unida a un soporte sólido para usar o de fragmento parcial de megalina humana y ligando capaz de unirse a megalina humana. Puesto que es conocida la técnica competitiva, puede determinarse adecuadamente un procedimiento basándose en una técnica convencional

Adicionalmente, la presente divulgación incluye un procedimiento para medir megalina humana en una muestra usando un ligando capaz de unirse a megalina humana, que comprende dejar reaccionar una muestra con un ligando capaz de unirse a megalina humana unido a una partícula, causando una reacción de aglutinación, y medir la megalina humana basándose en el grado de aglutinación resultante.

Los ejemplos de partículas usadas en dicho procedimiento incluyen partículas de látex que tienen cada una un diámetro de 0,05 a 10 µm y preferiblemente de 0,1 a 0,4 µm y partículas de gelatina y eritrocitos sanguíneos animales que tienen cada uno un diámetro de 0,5 a 10 µm. Los procedimientos de unión de un anticuerpo a una partícula son bien conocidos en la materia, y puede usarse adsorción física o unión covalente.

En el procedimiento anteriormente descrito, se mezclan las partículas con las que se ha unido anticuerpo antimegalina humana con la muestra, por ejemplo sobre un portaobjetos de vidrio negro, y se observan las partículas precipitadas tras aglutinación. Por tanto, puede detectarse la megalina humana en la muestra. Midiendo la absorbancia de dicha aglutinación, puede cuantificarse la megalina humana. Adicionalmente, la detección puede llevarse a cabo mediante inmunoensayo por pulsos.

Según el procedimiento de medida de megalina humana de la presente divulgación, pueden medirse fragmentos de megalina humana además de megalina humana intacta.

Puede detectarse un trastorno renal usando megalina humana en orina recogida de un sujeto que es un paciente con nefropatía por IgA como marcador. Se observa una cantidad aumentada de megalina excretada en la orina en una etapa temprana de la nefropatía, y por tanto puede detectarse un trastorno renal en una etapa más temprana que la posible con el uso de los marcadores de diagnóstico existentes para trastornos renales. Puesto que la cantidad de megalina humana excretada en la orina aumenta debido a trastornos tubulares renales proximales y fallo de la capacidad de resorción en la lesión. La medida de la megalina humana en orina puede utilizarse para determinar el sitio de un trastorno renal. Además, la medida de megalina humana en orina puede utilizarse para la evaluación de la actividad de trastornos renales progresivos (por ejemplo, el grado de progresión o pronóstico). Adicionalmente, la medida de megalina humana en orina puede utilizarse para predicción del pronóstico de un trastorno renal y dictamen de la graduación del trastorno (concretamente, la progresión de las condiciones patológicas), lo que posibilita la prevención de un trastorno renal en una etapa más temprana. En la presente invención, el término "detección de un trastorno renal" hace referencia también a la inspección de un trastorno renal, y dicha detección posibilita la predicción del pronóstico de un trastorno renal que es nefropatía por IgA. También puede evaluarse el grado de nefropatía por IgA. La megalina humana se excreta en la orina en una etapa temprana de un trastorno renal, aumentando la cantidad de la misma excretada a medida que aumenta la gravedad del trastorno renal y aumenta la concentración de megalina humana en orina. Cuando la concentración de megalina humana en orina es alta en un sujeto que es un paciente de trastorno renal, puede predecirse que el sujeto tiene un mal pronóstico. También puede detectarse disfunción tubular con el uso de megalina humana en orina como marcador para evaluar el grado de disfunción tubular. Específicamente, se realiza la predicción del pronóstico de trastorno renal descrita anteriormente para evaluar la disfunción tubular, y se realiza la evaluación de la graduación del trastorno renal para evaluar el grado de disfunción tubular. De nuevo, el trastorno renal de la presente invención es siempre nefropatía por IgA.

5

10

15

20

25

30

35

40

45

50

55

60

#### **Ejemplos**

5

10

15

20

25

30

35

40

45

50

55

60

65

La presente invención se describe con detalle con referencia a los siguientes ejemplos, aunque la presente invención no está limitada a estos ejemplos.

#### Ejemplo 1: Preparación de anticuerpo monoclonal de ratón anti-megalina humana

Se inmunizó por vía intraperitoneal un ratón con 50 µg de megalina y un coadyuvante varias veces, y se confirmó el título sérico elevado de la misma. Se extrajo el bazo 3 días después de la inmunización de recuerdo (en la vena), obteniendo células esplénicas. Se fusionaron las células esplénicas obtenidas con células de mieloma de ratón (10: 1) en presencia de polietilenglicol 3500, preparando células de hibridoma. Se cultivaron las células resultantes en CO₂ a 37 °C durante 1 semana y se inspeccionó la presencia de anticuerpos anti-megalina humana en el sobrenadante de cultivo. Se diluyeron mediante dilución limitante las células en pocillos positivos en que se observó producción de anticuerpo, se cultivó el resultado durante 2 semanas y se inspeccionó la presencia de anticuerpos anti-megalina humana en el sobrenadante de cultivo de la misma manera. Adicionalmente, se sometieron de nuevo a dilución limitante las células en pocillos positivos en que se observó producción de anticuerpo y se realizó el cultivo de la misma manera. Se cultivaron en un matraz células en que se habían producido ya anticuerpos anti-megalina humana en esta fase, se suspendieron algunas de las resultantes en suero fetal bovino (FCS) que contenía 10 % de dimetilsulfóxido (DMSO) (5 x 10<sup>6</sup> células/ml) y se almacenaron el resultado en nitrógeno líquido.

Posteriormente, se usaron los sobrenadantes de los pocillos para inspeccionar la reactividad de los anticuerpos producidos en el sobrenadante de cultivo contra megalina humana. Se disolvió megalina humana en NaCl 140 mM, KCI 2,7 mM, Na<sub>2</sub>HPO<sub>4</sub> 10 mM, KH<sub>2</sub>PO<sub>4</sub> 1,8 mM (pH 7,3) (abreviado de aquí en adelante como "PBS (pH 7,3)"). Se aplicó la solución de megalina humana/PBS (pH 7,3) a pocillos de una placa de microvaloración de plástico (Nunc-Immune™ Module F8 Maxisorp™ Surface plate, fabricada por Nalge Nunc International) a 100 µl/pocillo y se inmovilizó la megalina humana sobre la placa de microvaloración a 3 pmol/pocillo a 4 °C durante 12 horas. Se retiró por decantación 12 horas después la solución de megalina humana/PBS (pH 7,3) que se había aplicado a los pocillos, se aplicó una solución de lavado a los pocillos de la placa de microvaloración a 200 µl/pocillo, se retiró la solución de lavado por decantación y se lavó la megalina humana adsorbida en exceso en los pocillos. Se llevó a cabo este proceso de lavado dos veces en total. Después de ello, se aplicó una solución de bloqueo a la placa con antígeno inmovilizado a 200 µl/pocillo para bloquear los pocillos de la placa de microvaloración con megalina humana inmovilizada a 4 °C durante 12 horas. Después de pasar 12 horas, se almacenó la placa a 4 °C. Para confirmar la reactividad de los anticuerpos en el sobrenadante de cultivo, se usó la placa de microvaloración con megalina humana inmovilizada resultante después del bloqueo. Se aplicó sobrenadante de cultivo de hibridoma a pocillos de la placa de microvaloración con megalina humana inmovilizada a 100 µl/pocillo y se calentó la placa a 37 °C durante 1 hora. Después de ello, se retiró por decantación el sobrenadante de cultivo que se había aplicado a los pocillos, se aplicó una solución de lavado a las células de la placa de microvaloración a 200 µl/pocillo, se retiró la solución de lavado por decantación y se lavaron los interiores de los pocillos. Se llevó a cabo este proceso de lavado tres veces en total. Después de ello, se aplicó inmunoglobulina de cabra anti-ratón conjugada con peroxidasa (fabricada por DAKO) a los pocillos a 100 µl/pocillo (diluida 2.000 veces, 0,55 µg/ml) y se calentó la placa a 37 °C durante 1 hora. Se diluyeron los anticuerpos marcados con enzima con un diluyente para anticuerpos marcados enzimáticamente. Después de ello, se retiraron por decantación los anticuerpos marcados con enzima que se habían aplicado a los pocillos, se aplicó una solución de lavado a los pocillos de la placa de microvaloración a 200 µl/pocillo, se retiró la solución de lavado por decantación y se lavaron los interiores de los pocillos. Se llevó a cabo este proceso de lavado tres veces en total. Después de ello, se aplicó una solución de 3,3',5,5'tetrametilbencidina (abreviada de aquí en adelante como "TMB") (TMB One-Step Substrate System, fabricada por DAKO) a los pocillos a 100 µl/pocillo como solución de sustrato para la reacción de enzima peroxidasa, y se dejó reposar el resultado a 25 °C durante 30 minutos. Inmediatamente después de ello, se añadió una solución de detención de la reacción a la solución de sustrato en los pocillos a 100 µl/pocillo para terminar la reacción enzimática en los pocillos. Después de ello, se midió la absorbancia de los pocillos, se restó la absorbancia a 630 nm de la de 450 nm y se designó el valor resultante como indicador de la evaluación de la reactividad.

Como resultado, se seleccionaron las células de hibridoma monoclonadas en que el anticuerpo anti-megalina humana exhibiera una potente reactividad ante megalina humana inmovilizada, y se inspeccionó la clase y subclase de inmunoglobulina en el sobrenadante de cultivo para cada clon a partir de 100 µl de solución madre de sobrenadante de cultivo usando el kit de tipado de inmunoglobulina de ratón (Wako Pure Chemical Industries, Inc.). Basándose en los resultados, se seleccionaron células de clase IgG a partir de la colección de células monoclonales resultante y se transfirieron al proceso de producción de ascitis descrito a continuación.

Posteriormente, se cultivaron estas células en un matraz de 25 ml y se cultivaron adicionalmente en un matraz de 75 ml. Se inyectaron por vía intraperitoneal las células resultantes en un ratón tratado con pristano para recoger ascitis.

Ejemplo 2: Preparación de anticuerpo monoclonal de ratón (IgG) anti-megalina humana

Se mezcló la ascitis obtenida (10 ml) con un agente de tratamiento de suero sanguíneo opacificado (FRIGEN™ II: fabricado por Kyowa Pure Chemical Co., Ltd.) a una relación de 1,5:1 en volumen, y se sacudió y agitó el resultado durante 1 a 2 minutos para deslipidar la ascitis. Se centrifugó la ascitis usando una centrífuga a 3.000 rpm (1.930 x g) durante 10 minutos y se fraccionó el sobrenadante centrifugado de ascitis clarificada (10 ml). Se sometió el sobrenadante centrifugado de ascitis (10 ml) a fraccionamiento con sulfato de amonio (concentración final: sulfato de amonio saturado al 50 %) en un baño de hielo durante 1 hora y se suspendió y disolvió en PBS la fracción de inmunoglobulina precipitada. Se llevó a cabo este proceso de fraccionamiento con sulfato de amonio dos veces en total, obteniendo una fracción de inmunoglobulina bruta de ascitis. Se mezcló la fracción de inmunoglobulina bruta resultante (10 ml) con una cantidad equivalente de fosfato de sodio 20 mM (pH 7,0; designado de aquí en adelante como "NaPB 20 mM (pH 7,0)") y se sometió entonces a purificación por afinidad usando una columna de proteína G (HiTrap Protein G HP, 5 ml; fabricada por GE Healthcare). Se adsorbió la muestra en una columna de proteína G, se hicieron circular 50 ml de NaPB 20 mM (pH 7,0) a través de la columna de proteína G y se retiraron los contaminantes distintos de IgG de la columna por lavado. Después de ello, se eluyó la IgG adsorbida por afinidad sobre la columna de proteína G con glicina-HCl 0,1 M (pH 2,7) y se neutralizó la fracción de elución inmediatamente después de la elución de la columna con tris(hidroximetil)aminometano-HCl 1 M (pH 9,0) (de aquí en adelante, "tris(hidroximetil)aminometano" se abrevia como "Tris") y entonces se recuperó. Después de la neutralización, se dializó el producto purificado por afinidad frente a PBS en una cantidad 500 veces mayor que la del producto purificado en volumen a 4 °C durante 6 horas, y se llevó a cabo este proceso de diálisis dos veces en total. La membrana de diálisis usada para diálisis era un tubo de celulosa para diálisis (fabricado por Viskase Companies). Se designó la fracción de elución de IgG resultante como anticuerpo monoclonal anti-megalina humana y se sometió a almacenamiento a 4 °C y los procedimientos descritos a continuación. Se efectuó el proceso de purificación conectando la columna de proteína G anteriormente mencionada a un sistema BioLogic LP (fabricado por Bio Rad Laboratories) a un caudal constante de 1 ml/min.

#### Ejemplo 3: Medida de megalina humana en orina

5

10

15

20

25

30

35

40

45

50

55

60

Se usaron dos tipos de anticuerpos monoclonales anti-megalina humana que reconocen epítopos diferentes para medir la cantidad de megalina humana excretada en la orina. Se usaron una placa de microvaloración sobre la que se habían inmovilizado anticuerpos monoclonales anti-megalina humana y anticuerpos monoclonales anti-megalina humana marcados con fosfatasa alcalina (abreviada de aquí en adelante como "ALP") para medir la concentración de megalina humana en orina. Al inicio, se mezclaron 90 µl de orina original con 10 µl de una solución que comprendía Tris-HCl 2 M, ácido etilendiamino-N,N,N',N'-tetraacético 0,2 M (abreviado de aquí en adelante como "EDTA") y polietilenglicolmono-p-isooctilfeniléter al 10 % (vol/vol) (abreviado de aquí en adelante como "Triton X-100") (pH 8.0), y se aplicaron 100 µl de la mezcla resultante a pocillos de la placa de microvaloración sobre la que se habían inmovilizado anticuerpos monoclonales anti-megalina humana (placa FluoroNunc™ Module F16 Black-Maxisorp™ Surface, fabricada por Nalge Nunc International). Se dejó reposar el resultado a 37º C durante 1 hora, se retiró por decantación la solución de muestra de orina que se había aplicado a los pocillos, se aplicó NaCl 137 mM, KCl 2,68 mM, Tris-HCl 25 mM y Tween 20 al 0,05 % (v/v) (abreviado de aquí en adelante como "TBS-T") a los pocillos de la placa de microvaloración a 200 μl/pocillo y se retiró el TBS-T por decantación, seguido de lavado. Se llevó a cabo el proceso de lavado tres veces en total. Después de ello, se aplicó la solución de anticuerpos monoclonales anti-megalina humana marcados con ALP (0,5 ng/ml) a 100 µl/pocillo. Se prepararon los anticuerpos monoclonales anti-megalina humana marcados con ALP en TBS-T que contenía 0,2 % (p/v) de caseína (designado de aquí en adelante como diluyente para anticuerpos marcados). Se dejó reposar el resultado a 37 °C durante 1 hora, se retiró por decantación la solución de anticuerpos marcados con ALP que se había aplicado a los pocillos, se aplicó TBS-T a los pocillos de la placa de microvaloración a 200 µl/pocillo y se retiró el TBS-T por decantación, seguido de lavado. Se llevó a cabo el proceso de lavado cuatro veces en total. Posteriormente, se aplicó Tris-HCI 20 mM y MgCl<sub>2</sub> 1 mM (pH 9,8) (designado de aquí en adelante como "tampón de ensayo") a los pocillos de la placa de microvaloración a 200 µl/pocillo y se retiró el tampón de ensayo por decantación, seguido de lavado. Se llevó a cabo el proceso de lavado dos veces en total. Posteriormente, se aplicó sustrato quimioluminiscente CDP-Star™ para fosfatasa alcalina listo para usar (0,4 mM) con potenciador Emerald-II™ (sistema ELISA-Light™, fabricado por Applied Biosystems) a los pocillos como solución de sustrato para la reacción de enzima ALP a 100 μl/pocillo, y se dejó reposar el resultado a 37º C durante 30 minutos protegido de la luz. Inmediatamente después de ello, se midió la intensidad de emisión acumulada de los pocillos durante 1 s, y se designó el valor resultante como indicador de la medida y evaluación de megalina humana entera en orina. Se midió la intensidad de quimioluminiscencia usando el luminómetro Centro LB960 de Microplate y el software MicroWin2000 (fabricado por Berthold). Se usó como muestra de referencia para la curva de calibración megalina humana nativa extraída de riñón. Se muestran en las Fig. 1 y Fig. 2 los resultados de medidas clínicas reales de megalina humana en orina. Se muestran en la Tabla 1 los antecedentes de los pacientes sometidos a medida, pacientes con nefropatía diabética de tipo II (71 casos), pacientes con nefropatía por IgA (81 casos) y pacientes con síndrome nefrótico (18 casos).

Tabla 1

Parámetros	1: Individuo sano	2: Nefropatía	3: Nefropatía	4. Síndrome
		diabética de tipo II	por IgA	nefrótico
Número (n)	66	71	81	18
Sexo (F/M)	20/46	26/45	57/24	6/12
Edad	31,5 ± 10,3	65,5 ± 11,8	32,2 ± 10,5	52,9 ± 15,3
IMP (kg/m <sup>2</sup> )	20,5 ± 1,8	25,0 ± 5,5	21,0 ± 2,9	24,5 ± 2,9
Presión sanguínea	108,5 ± 9,8	129,3 ± 14,7	112,3 ± 13,9	117,7 ± 13,1
sistólica (mm Hg)				
Presión sanguínea	$64,5 \pm 7,4$	77,1 ± 9,8	64,9 ± 10,4	69,4 ± 8,6
diastólica (mm Hg)				
Albúmina excretada en	$4.5 \pm 2.5$	2398,2 ± 8459,5	1204,5 ± 3136,5	12683,8 ± 17513,4
la orina (mg/g de				
creatinina en orina)				
HbA1c (%)	•	6,8 ± 1,6		-
Nivel de azúcar en	75,2 ±7,7	148,4 ± 55,7	-	-
sangre en ayunas				
(mg/dl)				
eGFR (ml/min/1,73m <sup>2</sup> )	90,2 ± 15,2	67,5 ± 18,7	84,0 ± 22,6	71,1 ± 23,1

La Fig. 1 y la Tabla 2 muestran los resultados de medidas clínicas reales respecto a nefropatía diabética de tipo II, nefropatía por IgA y síndromes nefróticos.

5

10

15

20

25

30

35

40

_			_
ıа	h	เล	"

	Individuo sano	Nefropatía diabética de tipo II	Nefropatía por IgA	Síndrome nefrótico
Valor de referencia respecto al (número de casos)	2/66 casos	43/71 casos	56/81 casos	17/18 casos
Valor de referencia respecto al (%)	3,0 %	60,6 %	69,1 %	94,4 %

Como se muestra en la Fig. 1 y la Tabla 2, se encontró que la cantidad de megalina excretada en la orina aumentaba significativamente en los grupos de enfermedad, en comparación con los individuos sanos. Se evaluó la cantidad de megalina excretada en la orina dividiendo la concentración de megalina en orina entre la concentración de creatinina en orina para corregir la concentración y evaluar el valor de corrección de creatinina obtenido. Esto se usa comúnmente en los biomarcadores en orina para confirmar que los resultados no se han influido por la relación de concentración en el momento de excreción de orina. Como valor de referencia para la cantidad de megalina excretada en la orina determinado para 66 individuos sanos (intervalo normal), se emplearon 448 fmol de megalina en orina / g de creatinina en orina. Es decir, se calculó un intervalo de confianza del 95 % basado en la distribución normal de las concentraciones de megalina en la orina de 66 individuos sanos (concretamente, el valor de corrección de creatinina), el límite superior del intervalo de confianza del 95 % era de 448 fmol de megalina en orina / g de creatinina en orina y se usó el valor determinado como valor de referencia para las concentraciones de megalina en orina. Debería observarse que el valor de referencia obtenido puede variar dependiendo de la modificación de los procedimientos para ajustar los estándares a la plataforma de medida o material de referencia, y el valor obtenido no se usaría permanentemente como valor de corte absoluto. Específicamente, el valor de corte no está particularmente limitado a 448 fmol de megalina en orina / g de creatinina en orina. Sin embargo, los resultados logrados en este ejemplo pueden suponerse representativos de un valor de referencia con validez consistente. Como se muestra en la Fig. 2, la cantidad de megalina excretada en la orina es mayor en pacientes con glomerulonefritis crónica, nefropatía membranosa, glomerulonefritis asociada a ANCA, glomerulonefritis por lupus, nefritis por púrpura de Henoch-Schönlein, glomerulonefritis crescéntica, glomeruloesclerosis focal, nefroesclerosis, insuficiencia renal aguda, insuficiencia renal crónica, lesión glomerular menor; escleriasis, trastorno renal postransplante, infiltración celular intersticial, mieloma múltiple y nefropatía relacionada con la obesidad, en comparación con individuos sanos, aunque el número de dichos casos es pequeño. La mayoría de casos exhibe altos niveles de megalina en orina superiores al nivel de referencia para el nivel de megalina en orina descrito anteriormente. Por tanto, se encontró que el nivel de megalina en orina era útil como marcador de diagnóstico para trastornos renales en diversas enfermedades mencionadas anteriormente.

El ejemplo 3 demuestra que la megalina humana en orina puede medirse y evaluarse específicamente y que la cantidad de megalina humana excretada en la orina aumentaba con nefropatía diabética de tipo II, nefropatía por IgA, síndrome nefrótico y otros casos de nefropatía. Se consideró por tanto que la megalina humana en orina es eficaz para el reconocimiento de condiciones patológicas y el diagnóstico de nefropatía.

Ejemplo 4: Comparación de la utilidad del nivel de megalina en orina y otros marcadores de trastorno renal para predicción del pronóstico y diagnóstico cuando se usa como indicador el pronóstico determinado mediante la clasificación histológica de nefropatía por IgA (59 casos) por biopsia renal (prueba de la diferencia significativa)

Respecto a los datos sobre la concentración de megalina humana excretada en la orina a partir de los 81 casos de nefropatía por IgA obtenidos en el ejemplo 3, se sometieron adicionalmente 59 muestras sometidas a biopsia renal a subanálisis usando el pronóstico determinado mediante la clasificación histológica lograda por biopsia renal como indicador. Se pretendía que este análisis examinara si la cantidad de megalina excretada en la orina podía servir o no como indicador para la predicción del pronóstico, ya que el pronóstico empeora basándose en la clasificación de pronóstico histológico de nefropatía por IgA. Se muestran en la Tabla 3 los antecedentes de los pacientes con nefropatía por IgA (59 casos) de acuerdo con el pronóstico determinado mediante la clasificación histológica conseguida por biopsia renal.

10

5

Tabla 3

		rabia 3		
Parámetros	1: Individuo	2: Nefropatía por IgA	3: Nefropatía por IgA	4: Nefropatía por
	sano	(grupos de buen pronóstico	(grupo de pronóstico	IgA (grupo de mal
		y pronóstico relativamente	relativamente malo)	pronóstico)
		bueno)	-	
Número (n)	66	8	29	22
Sexo (F/M)	20/46	6/2	25/4	17/5
Edad	31,5 ± 10,3	28,3 ± 8,1	29,8 ± 6,1	$34,2 \pm 8,6$
IMP (kg/m <sup>2</sup> )	20,5 ± 1,8	$20,5 \pm 2,6$	19,5 ± 2,8	21,6 ± 2,8
Presión sanguínea	108,5 ± 9,8	104,0 ± 16,1	107,3 ± 8,2	118,0 ± 16,6
sistólica (mm Hg)				
Presión sanguínea	$64,5 \pm 7,4$	57,6 ± 3,6	63,1 ± 10,5	64,6 ± 12,8
diastólica (mm Hg)				
Albúmina excretada	$4,5 \pm 2,5$	1474,0 ± 2929,6	1113,8 ± 3026,9	493,4 ± 413,5
en la orina (mg/g de				
creatinina en orina)				
HbA1c (%)		-	-	-
Nivel de azúcar en	75,2 ±7,7	-	-	-
sangre en ayunas				
(mg/dl)				
eGFR	90,2 ± 15,2	105,6 ± 18,0	88,6 ± 20,5	67,6 ± 19,6
(ml/min/1,73m <sup>2</sup> )				

La Fig. 3 y la Tabla 4 muestran los resultados del subanálisis de la cantidad de megalina excretada en la orina basándose en el pronóstico determinado mediante la clasificación histológica de nefropatía por IgA lograda por biopsia renal.

15

Tabla 4

	Individuo	Nefropatía por IgA						
	sano	Buen pronóstico y pronóstico relativamente bueno	Diagnóstico relativamente malo	Mal pronóstico				
Valor de referencia respecto al (número de casos)	2/66 casos	4/8 casos	19/29 casos	17/22 casos				
Valor de referencia respecto a (%)	3,0 %	50,0 %	65,5 %	77,3 %				

20

Como se muestra en la Fig. 3 y la Tabla 4, se encontró que la cantidad de megalina excretada en la orina aumenta y se encontró que el porcentaje de casos con niveles anormalmente altos de megalina en la orina aumenta a medida que el pronóstico empeora. Se sometieron a un análisis similar otros marcadores de diagnóstico de enfermedades renales y el nivel de megalina en orina, y se compararon los resultados. Se muestran los resultados en la Tabla 5.

Tabla 5

		Nefropatía por IgA					
		Buen pronóstico y pronóstico relativamente bueno	Diagnóstico relativamente malo	Mal pronóstico	Total		
Megalina en orina	Valor de referencia respecto al (número de casos)	4/8 casos	19/29 casos	17/22 casos	40/59 casos		
	Valor de referencia respecto a (%)	50,0 %	65,5 %	77,3 %	67,8 %		
Proteína en orina	Valor de referencia respecto al (número de casos)	1/8 casos	12/29 casos	15/22 casos	28/59 casos		
	Valor de referencia respecto a (%)	12,5 %	41,4 %	68,2 %	47,5 %		
β <sub>2</sub> -MG en orina	Valor de referencia respecto al (número de casos)	0/8 casos	1/29 casos	3/22 casos	4/59 casos		
	Valor de referencia respecto a (%)	0,0 %	3,4 %	13,6 %	6,8 %		
α <sub>1</sub> -MG en orina	Valor de referencia respecto al (número de casos)	0/8 casos	0/29 casos	2/22 casos	2/59 casos		
	Valor de referencia respecto a (%)	0,0 %	0,0 %	9,1 %	3,4 %		
NAG en orina	Valor de referencia frente al (número de casos)	2/8 casos	11/29 casos	14/22 casos	27/59 casos		
	Valor de referencia respecto a (%)	25,0 %	37,9 %	63,6 %	45,8 %		

Como se muestra en la Tabla 5, los niveles de megalina en orina para 40 casos superaban los valores de referencia para los 59 casos de nefropatía por IgA. Los resultados indican que el nivel de megalina en orina es el marcador más útil para diagnóstico de cribado de trastorno renal (Tabla 5).

Además, se comparó la utilidad del nivel de megalina en orina con la de otros marcadores de diagnóstico en orina para enfermedades renales en términos de predicción del pronóstico y diagnóstico. Específicamente, se clasificó el desenlace de nefropatía por IgA basándose en el pronóstico determinado por la clasificación histológica lograda por biopsia renal como sigue: los grupos de buen pronóstico y pronóstico relativamente bueno (puntuación 1); el grupo de pronóstico relativamente malo (puntuación 2) y el grupo de mal pronóstico (puntuación 3). En este caso, los desenlaces se indicaron por la cuota de aparición de desenlaces que exhibían valores mayores o iguales a los valores de referencia (concretamente, valores de corte) para cada marcador. Se determinó una reducción significativa mediante la prueba U de Mann-Whitney y se evaluó. Se usaron como marcadores de diagnóstico en orina para trastornos renales:  $\beta_2$ -microglobulina en orina (corte: 300 µg/g de creatinina en orina),  $\alpha_1$ -microglobulina en orina (corte: 12 mg/g de creatinina en orina), N-acetil- $\beta$ -D-glucosaminidasa en orina (corte: 6 Ul/g de creatinina en orina) y proteína en orina (corte: 0,5 g/g de creatinina en orina), y se emplearon como valores de corte para los marcadores de control los valores de referencia usados comúnmente en atención médica rutinaria. Se muestran los resultados en la Tabla 6.

20

5

10

15

Tabla 6

		Tabla	0			
	Frente a proteína urinaria Frente a proteína urinaria (diferencia					
	(dominancia/recesividad)		significativa)	exacto		
Megalina en orina	Dominante		P < 0,001	0,0003		
β <sub>2</sub> -MG en orina	Inferior		P < 0,05	0,0383		
α <sub>1</sub> -MG en orina	Inferior		P < 0,05	0,0102		
NAG en orina	Inferior		NS	0.1241		

25

Como se muestra en la Tabla 6, se encontró que el nivel de megalina en orina solo era un marcador más útil en la predicción del pronóstico y diagnóstico, en comparación con proteína urinaria que es el marcador de diagnóstico en orina más común para nefropatía por IgA. La complicación de trastornos tubulares renales se considera que es un factor de tendencia en datos clínicos de mal diagnóstico de nefropatía por IgA. Actualmente, se usan  $\beta_2$ -microglobulina en orina,  $\alpha_1$ -microglobulina y N-acetil- $\beta$ -D-glucosaminidasa en orina como indicadores del diagnóstico de dichas complicaciones. Como se muestra en la Tabla 5 y la Tabla 6, sin embargo, se encontró que

el nivel de megalina en orina era el marcador más eficaz como indicador del diagnóstico de dichas complicaciones tubulares renales.

El ejemplo 4 demuestra que la megalina humana en orina puede medirse específicamente y evaluarse, y la cantidad de megalina humana excretada en la orina aumenta de acuerdo con la graduación de predicción del pronóstico de nefropatía por IgA. Los resultados demuestran que la megalina humana en orina es eficaz para el reconocimiento de condiciones patológicas y el diagnóstico de nefropatía por IgA.

Ejemplo de referencia 5: Comparación de la compatibilidad de megalina humana en orina y otros marcadores de trastorno renal con la tasa de filtración glomerular aparente en los etapas I a III de nefropatía diabética (68 casos) (prueba de la diferencia significativa)

Se sometieron a subanálisis los datos respecto a la concentración de megalina humana excretada en la orina de 71 casos de nefropatía diabética de tipo II obtenidos en el ejemplo 3 usando la clasificación de la estadificación diabética como indicador. Este análisis pretende examinar si la cantidad de megalina excretada en la orina podría servir o no como indicador del reconocimiento de la graduación del trastorno a medida que empeoran las condiciones patológicas cuando el análisis se lleva a cabo basado en la estadificación de la nefropatía diabética. Se muestran en la Tabla 7 los antecedentes de los pacientes con nefropatía diabética de tipo II (71 casos) de acuerdo con la estadificación de nefropatía diabética.

Tabla 7

		i abia i		
Parámetros	1: Individuo	2: Nefropatía diabética	3: Nefropatía diabética	
	sano	de tipo II (etapa I: etapa	de tipo II (etapa II:	
		precedente a la	etapa temprana de la	(etapa III: nefropatía
		nefropatía)	nefropatía)	manifiesta)
Número (n)	66	39	17	15
Sexo (F/M)	20/46	16/23	5/12	5/10
Edad	31,5 ± 10,3	65,1 ± 12,0	63,8 ± 11,7	68,7 ± 11,6
IMP (kg/m <sup>2</sup> )	20,5 ± 1,8	24,4 ± 5,1	25,4 ± 6,4	26,1 ± 5,7
Presión sanguínea	108,5 ± 9,8	124,9 ± 10,8	134,4 ± 17,4	135,5 ± 17,4
sistólica (mm Hg)				
Presión sanguínea	$64,5 \pm 7,4$	77,8 ± 8,8	75,6 ± 12,6	76,9 ± 9,4
diastólica (mm Hg)				
Albúmina excretada en	$4,5 \pm 2,5$	10,2 ± 6,3	87,4 ± 56,4	11226,0 ± 15872,8
la orina (mg/g de				
creatinina en orina)				
HbA1c (%)	-	7,0 ± 1,6	$6,6 \pm 0,9$	6,7 ± 2,2
Nivel de azúcar en	75,2 ±7,7	74,0 ± 13,8	70,3 ± 14,9	44,8 ± 19,4
sangre en ayunas				
(mg/dl)				
eGFR (ml/min/1,73m <sup>2</sup> )	90,2 ± 15,2	74,0	70,1	44,8

Se muestran en la Fig. 4 y la Tabla 8 los resultados del subanálisis de la cantidad de megalina excretada en la orina basándose en la estadificación de la nefropatía diabética.

25

30

35

5

15

20

Tabla 8

	Individuo	Nefropatía diabética de tipo II								
	sano	Etapa I (etapa precedente a la nefropatía)	Etapa II (etapa temprana de nefropatía)	Etapa III (nefropatía manifiesta)						
Valor de referencia respecto al (número de casos)	2/66 casos	19/39 casos	10/17 casos	14/15 casos						
Valor de referencia respecto a (%)	3,0 %	48,7 %	58,8 %	93,3 %						

Como se muestra en la Fig. 4 y la Tabla 8, se encontró que la cantidad de megalina excretada en la orina aumentaba y se encontró que el porcentaje de casos que exhiben niveles anormalmente altos de orina se elevaba a medida que empeoraban las condiciones patológicas.

La Fig. 5 muestra la correlación entre la cantidad de albúmina excretada en la orina (valor de corrección de creatinina) y la cantidad de megalina excretada en la orina (valor de corrección de creatinina). Como se muestra en la Fig. 5, se encontró que los casos que exhiben una cantidad anormalmente alta de megalina excretada en la orina que supera el intervalo normal (valor de referencia) daban cuenta de un 48,7 % de todos los casos en el etapa de albuminuria normal antes del desarrollo de microalbuminuria. Esto indica que la cantidad de megalina

excretada en la orina refleja sensiblemente el desarrollo y progresión de la nefropatía y aumenta en un etapa más temprana que el indicador actual de diagnóstico de nefropatía diabética (concretamente, la cantidad de albúmina excretada en la orina). Se demostró por tanto que el uso del nivel de megalina en orina como marcador de diagnóstico para nefropatía diabética posibilita la predicción del pronóstico de nefropatía diabética de tipo II y un dictamen exacto y temprano de la graduación del trastorno (concretamente, la progresión de las condiciones patológicas), y dicho uso sería útil desde el punto de vista de la atención preventiva en un etapa más temprana. Se usan como valores de referencia de la cantidad de albúmina excretada en la orina microalbuminuria (corte: 30 a 300 mg/g de creatinina en orina) y albuminuria manifiesta (corte: 300 mg/g o más de creatinina en orina), y dichos valores se usan comúnmente para atención médica rutinaria.

10

15

20

5

La Fig. 6 muestra la correlación entre la tasa de filtración glomerular aparente y la cantidad de megalina excretada en la orina. El término "tasa de filtración glomerular" hace referencia a la cantidad de plasma sanguíneo filtrado a través de todos los glomérulos del riñón por unidad de tiempo. La tasa de filtración glomerular aparente (eGFR) puede determinarse mediante la ecuación mostrada a continuación usando la concentración de creatinina en suero, edad y sexo como factores:

eGFR (ml/min/1,73 m<sup>2</sup>)= 194 x 
$$Cr^{-1,094}$$
 x edad<sup>-0,287</sup> x 0,739 (si es mujer)

La tasa de filtración glomerular aparente es un indicador de la evaluación de las funciones renales empleado para

25

una prueba de cribado primaria para muchas enfermedades renales crónicas, tales como nefropatía diabética o nefropatía por IgA. Según la estadificación de las enfermedades renales crónicas, se evalúa una eGFR de 60 a 89 (ml/min/1,73 m²) como indicativa de una leve reducción de las funciones renales, se evalúa una de 30 a 59 (ml/min/1,73 m²) como indicativa de una reducción moderada de las funciones renales, se evalúa una de 15 a 29 (ml/min/1,73 m²) como indicativa de una reducción grave de las funciones renales y se evalúa una menor de (ml/min/1,73 m²) como indicativa de insuficiencia renal. Como se muestra en la Fig. 6, la cantidad de megalina excretada en la orina tiende a aumentar con la reducción de eGFR (concretamente, la reducción de las funciones renales), y se ha encontrado que una cantidad aumentada de megalina excretada en la orina es eficaz para un

30

35

renales), y se ha encontrado que una cantidad aumentada de megalina excretada en la orina es eficaz para un dictamen exacto y temprano de la graduación del trastorno (concretamente, la progresión de las condiciones patológicas) de nefropatía diabética de tipo II.

patologicas) de nelropatia diabetica de tipo in

médica rutinaria. Se muestran los resultados en la Tabla 9.

La Fig. 7 muestra la correlación entre la tasa de filtración glomerular aparente y la cantidad de albúmina excretada en la orina. Como se muestra en la Fig. 7, el nivel de albúmina en orina tiende a aumentar con la reducción de eGFR (concretamente, la reducción de las funciones renales), como con el caso de la cantidad de megalina excretada en la orina (Fig. 6). Sin embargo, se observaron casos de albuminuria normal que exhibían una eGFR menor de 60 (ml/min/1,73 m²) (concretamente, disfunción renal) y casos de microalbuminuria que exhibían una eGFR de 90 o más (ml/min/1,73 m²) (concretamente, funciones renales normales). Esto indica que la importancia clínica (concretamente respecto a la exactitud del diagnóstico) de la albuminuria como marcador de diagnóstico para nefropatía diabética es insuficiente. Los resultados demuestran que el uso del nivel de megalina en orina como indicador del diagnóstico de nefropatía diabética de tipo II posibilita un diagnóstico más exacto que el posible con el uso de albuminuria.

40

45

50

Se comparó la utilidad del nivel de megalina en orina como marcador de diagnóstico para nefropatía diabética de tipo II como puede observarse en las Fig. 6 y Fig. 7 con la de otros marcadores de diagnóstico para enfermedades renales, para ensayar la compatibilidad del mismo con la tasa de filtración glomerular aparente. Específicamente, los resultados respecto a nefropatía diabética de tipo II se clasificaron como: eGFR de 90 o más (ml/min/1,73 m²) (puntuación 1); 60 a 89 (ml/min/1,73 m²) (puntuación 2); 30 a 59 (ml/min/1,73 m²) (puntuación 3) y 15 a 29 (ml/min/1,73 m²) (puntuación 4). Esto se basó en la estadificación de las enfermedades renales crónicas en términos de la tasa de filtración glomerular aparente. Los desenlaces se indicaron por la cuota de aparición de un desenlace que exhibía valores mayores o iguales a los valores de referencia (concretamente, valores de corte) para cada marcador. En dicha prueba, se determinó la diferencia significativa mediante la prueba U de Mann-Whitney y se evaluaron los resultados. Se emplearon como marcadores de diagnóstico en orina de control para trastornos renales  $\beta_2$ -microglobulina en orina (corte: 300  $\mu$ g/g de creatinina en orina),  $\alpha_1$ -microglobulina en orina (corte: 12 mg/g de creatinina en orina),  $\alpha_1$ -microglobulina en orina), proteína en orina (corte: 0,5 g/g de creatinina en orina) y albúmina urinaria (corte: 30 mg/g de creatinina en orina), y se emplearon para los marcadores de control valores de corte estándares empleados comúnmente en atención

55

Tabla 9

		i abia c	,	
	Frente a proteína	urinaria	Frente a proteína urinaria (diferencia	Valor de P
	(dominancia/recesividad)		significativa)	exacto
Megalina en orina	Dominante		P< 0,01	0,0073
β <sub>2</sub> -MG en orina	Codominante		NS	0,8733
α <sub>1</sub> -MG en orina	Codominante		NS	0,5288
NAG en orina	Dominante		P< 0,05	0,0106
Proteína en orina	Dominante		P< 0,001	1,1 x 10 <sup>-11</sup>

Como se muestra en la Tabla 9, se encontró que el nivel de megalina en orina, *N*-acetill-β-D-glucosaminidasa y proteína urinaria eran más eficaces, en términos de compatibilidad con la tasa de filtración glomerular aparente, en comparación con la cantidad de albúmina en orina, que es el marcador de diagnóstico en orina más común para nefropatía diabética. Los resultados de análisis demostrados en este ejemplo (mostrado en la Tabla 9) reflejan nefropatía diabética de etapas I a III (concretamente, desde la etapa precedente a nefropatía hasta nefropatía manifiesta). Desde el punto de vista del diagnóstico temprano, debería prestarse atención a la nefropatía de etapas I y II (concretamente, desde la etapa precedente a nefropatía hasta la etapa temprana de nefropatía). Esto se describió en el ejemplo 4.

10

5

Ejemplo de referencia 6: Comparación de la compatibilidad de megalina humana en orina y otros marcadores de enfermedades renales con la tasa de filtración glomerular aparente en los etapas I y II de nefropatía diabética (56 casos), teniendo en consideración el diagnóstico temprano de enfermedad renal (prueba de la diferencia significativa)

15

20

25

Al prestar atención a los etapas I y II de nefropatía diabética (concretamente, desde el etapa precedente a nefropatía hasta la etapa temprana de nefropatía), se comparó la utilidad del nivel de megalina en orina como marcador de diagnóstico de nefropatía diabética de tipo II como puede observarse en las Fig. 6 y Fig. 7 con la de otros marcadores de diagnóstico de enfermedades renales en términos de compatibilidad con la tasa de filtración glomerular aparente. Específicamente, los resultados respecto a la nefropatía diabética de tipo II se clasificaron como: eGFR de 90 o más (ml/min/1,73 m²) (puntuación 1), 60 a 89 (ml/min/1,73 m²) (puntuación 2), 30 a 59 (ml/min/1,73 m<sup>2</sup>) (puntuación 3) y 15 a 29 (ml/min/1,73 m<sup>2</sup>) (puntuación 4), basándose en la estadificación de enfermedades renales crónicas en términos de la tasa de filtración glomerular aparente. Se indicaron los desenlaces mediante la cuota de aparición de un desenlace que exhibía valores mayores o iguales a los valores de referencia (concretamente, valores de corte) para cada marcador. Se determinó la diferencia significativa mediante la prueba U de Mann-Whitney y se evaluaron los resultados. Como marcadores de diagnóstico en orina de control para trastornos renales se emplearon β<sub>2</sub>-microglobulina en orina (corte: 300 μg/g de creatinina en orina), α<sub>1</sub>microglobulina en orina (corte: 12 mg/g de creatinina en orina) N-acetil-β-D-glucosaminidasa en orina (corte: 6 Ul/g de creatinina en orina), proteína urinaria (corte: 0,5 g/g de creatinina en orina) y albúmina en orina (corte: 30 mg/g de creatinina en orina), y se emplearon como valores de corte para marcadores de control los valores de referencia usados comúnmente en la atención médica rutinaria. Se muestran los resultados en la Tabla 10.

30

Tabla 10

	Frente a proteína urinaria	Frente a proteína urinaria (diferencia	Valor de P
	(dominancia/recesividad)	significativa)	exacto
Megalina en orina	Dominante	P< 0,01	0,0060
β <sub>2</sub> -MG en orina	Codominante	NS	0,0810
α <sub>1</sub> -MG en orina	Codominante	NS	0,1245
NAG en orina	Codominante	NS	0,0649
Proteína en orina	Codominante	NS	0,1273

35

40

Como se muestra en la Tabla 10, se encontró que el nivel de megalina en orina solo era más eficaz en términos de compatibilidad con la tasa de filtración glomerular aparente, en comparación con el nivel de albúmina urinaria, que es el marcador de diagnóstico en orina más común para nefropatía diabética actualmente. El uso del nivel de megalina en orina como marcador de diagnóstico para nefropatía diabética de tipo II posibilita una predicción del pronóstico de nefropatía diabética de tipo II y un dictamen exacto y temprano de la graduación del trastorno (concretamente, la progresión de las condiciones patológicas) y dicho uso se considera por tanto útil desde el punto de vista de la atención médica preventiva en un etapa más temprana.

45

Ejemplo de referencia 7: Medida de la cantidad de megalina humana excretada en la orina de un paciente con insuficiencia renal aguda

50

55

Como se muestra en la Fig. 8, se encontró que la cantidad de megalina excretada en la orina aumentaba significativamente en el grupo de insuficiencia renal aguda, en comparación con individuos sanos. La insuficiencia renal aguda se diagnosticó de acuerdo con estándares internacionales relevantes (concretamente, la clasificación RIFLE). Se evaluó la cantidad de megalina excretada en la orina con el uso del valor de corrección de creatinina determinado dividiendo la concentración de megalina en orina entre la concentración de creatinina en orina y corrigiendo la concentración. Se usa comúnmente lo anteriormente mencionado como biomarcador urinario para verificar que los resultados no están influidos por la tasa de concentración en el momento de la excreción urinaria. Como valor de referencia para la cantidad de megalina excretada en la orina obtenido a partir de 66 individuos sanos (concretamente, el intervalo normal), se empleó 448 fmol de megalina en orina / g de creatinina en orina. Es decir, se calculó un intervalo de confianza del 95 % basándose en la distribución normal de las concentraciones de megalina en orina de 66 individuos sanos (concretamente, el valor de corrección de creatinina), el límite superior del intervalo de confianza del 95 % era de 448 fmol de megalina en orina / g de creatinina en orina, y se usó el valor determinado como valor de referencia para las concentraciones de megalina en orina. Debería observarse

que el valor de referencia obtenido puede variar dependiendo de la modificación de los procedimientos para ajustar los estándares a la plataforma de medida o material de referencia, y el valor obtenido no se usaría permanentemente como valor de corte absoluto. Específicamente, el valor de corte no está particularmente limitado a 448 fmol de megalina en orina / g de creatinina en orina. Sin embargo, los resultados logrados en este ejemplo pueden considerarse como un valor de referencia de validez consistente. En este ejemplo, se midió y evaluó específicamente la megalina humana en orina, y se observó una cantidad aumentada de megalina humana excretada en la orina en pacientes con insuficiencia renal aguda. Por tanto, se consideró que la megalina humana en orina era eficaz para el reconocimiento de condiciones patológicas y el diagnóstico de nefropatía.

#### 10 Aplicabilidad industrial

Al medir la cantidad de megalina excretada en la orina de un paciente con un trastorno renal, y en particular nefropatía por IgA, puede evaluarse la actividad del trastorno renal progresivo (por ejemplo, la graduación de la progresión o pronóstico). Para inhibir el desarrollo y progresión de la nefropatía, se evalúan las lesiones y la graduación del trastorno renal, y es necesario un tratamiento activo basado en evidencias. Puede usarse una cantidad aumentada de megalina excretada en la orina para la evaluación de las graduaciones de trastornos tubulares renales proximales y fallo de la capacidad de resorción en una lesión. Los marcadores de diagnóstico existentes para trastornos renales no posibilitan la determinación respecto a lesiones de trastornos renales o la evaluación de las funciones en dichas lesiones.

20

25

15

5

La cantidad aumentada de megalina excretada en la orina se observa en una etapa temprana de la nefropatía, y por tanto es más eficaz para el diagnóstico de un trastorno renal en una etapa más temprana que los marcadores de diagnóstico existentes para trastornos renales. Basándose en la cantidad de megalina en orina, en consecuencia, pueden determinarse la lesión y la graduación del trastorno con mayor exactitud en una etapa más temprana, en comparación con el uso de los marcadores de diagnóstico existentes para trastornos renales. En consecuencia, la cantidad de megalina en orina es eficaz para la predicción del pronóstico de un trastorno renal y un dictamen exacto y temprano de la graduación del trastorno (concretamente, la progresión de las condiciones patológicas), y es útil desde el punto de vista del tratamiento preventivo en una etapa más temprana.

#### 30 LISTADO DE SECUENCIAS

<110> NIIGATA UNIVERSITY JUNTENDO EDUCATIONAL FOUNDATION DENKA SEIKEN CO., LTD.

35 <120> Uso de megalina en muestras de orina como marcador para detectar trastorno renal

<130> 152 402 n2

<140> 10769753.4

<141> 27-04-2010

<150> JP 2009-108493

40 <151> 27-04-2009

<160> 2

<170> PatentIn Ver. 2.1

<210> 1

<211> 13968

45 <212> ADN

<213> Homo sapiens

<400>

```
atggatcgcg ggccggcagc agtggcgtgc acgctgctcc tggctctcgt cgcctgccta 60
gegeeggeea gtggeeaaga atgtgaeagt gegeatttte getgtggaag tgggeattge 120
atccctgcag actggaggtg tgatgggacc aaagactgtt cagatgacgc ggatgaaatt 180
ggctgcgctg ttgtgacctg ccagcagggc tatttcaagt gccagagtga gggacaatgc 240
atccccagct cctgggtgtg tgaccaagat caagactgtg atgatggctc agatgaacgt 300
caagattgct cacaaagtac atgctcaagt catcagataa catgctccaa tggtcagtgt 360
ateccaagtg aatacaggtg egaceaegte agagaetgee eegatggage tgatgagaat 420
gactgccagt acccaacatg tgagcagctt acttgtgaca atggggcctg ctataacacc 480
agtcagaagt gtgattggaa agttgattgc agggactcct cagatgaaat caactgcact 540
gagatatgct tgcacaatga gttttcatgt ggcaatggag agtgtatccc tcgtgcttat 600
gtctgtgacc atgacaatga ttgccaagac ggcagtgatg aacatgcttg caactatccg 660
acctgcggtg gttaccagtt cacttgcccc agtggccgat gcatttatca aaactgggtt 720
tgtgatggag aagatgactg taaagataat ggagatgaag atggatgtga aagcggtcct 780
catgatgttc ataaatgttc cccaagagaa tggtcttgcc cagagtcggg acgatgcatc 840
actagtaccg gaaaatactg tagtatgact ctgtgctctg ccttgaactg ccagtaccag 960
tgccatgaga cgccgtatgg aggagcgtgt ttttgtcccc caggttatat catcaaccac 1020
aatgacagcc gtacctgtgt tgagtttgat gattgccaga tatgggggaat ttgtgaccag 1080
aagtgtgaaa geegaeetgg eegteaeetg tgeeaetgtg aagaagggta tatettggag 1140
cgtggacagt attgcaaagc taatgattcc tttggcgagg cctccattat cttctccaat 1200
ggtcgggatt tgttaattgg tgatattcat ggaaggagct tccggatcct agtggagtct 1260
cagaatcgtg gagtggccgt gggtgtggct ttccactatc acctgcaaag agttttttgg 1320
acagacaccg tgcaaaataa ggttttttca gttgacatta atggtttaaa tatccaagag 1380
gttctcaatg tttctgttga aaccccagag aacctggctg tggactgggt taataataaa 1440
atctatctag tggaaaccaa ggtcaaccgc atagatatgg taaatttgga tggaagctat 1500
cgggttaccc ttataactga aaacttgggg catcctagag gaattgccgt ggacccaact 1560
gttggttatt tattttctc agattgggag agcctttctg gggaacctaa gctggaaagg 1620
gcattcatgg atggcagcaa ccgtaaagac ttggtgaaaa caaagctggg atggcctgct 1680
ggggtaactc tggatatgat atcgaagcgt gtttactggg ttgactctcg gtttgattac 1740
attgaaactg taacttatga tggaattcaa aggaagactg tagttcatgg aggctccctc 1800
attecteate cetttggagt aagettattt gaaggteagg tgttetttae agattggaea 1860
aagatggccg tgctgaaggc aaacaagttc acagagacca acccacaagt gtactaccag 1920
getteeetga ggeeetatgg agtgaetgtt taccattece teagacagee etatgetace 1980
aatccgtgta aagataacaa tgggggctgt gagcaggtct gtgttctcag ccacagaaca 2040
gataatgatg gtttgggttt ccgttgcaag tgcacattcg gcttccaact ggatacagat 2100
gagegeeact geattgetgt teagaattte eteattttt cateeeaagt tgetattegt 2160
gggatcccgt tcaccttgtc tacccaggaa gatgtcatgg ttccagtttc ggggaatcct 2220
tetttetttg tegggattga ttttgaegee eaggacagea etatetttt tteagatatg 2280
```

```
tcaaaacaca tgatttttaa gcaaaagatt gatggcacag gaagagaaat tctcgcagct 2340
aacagggtgg aaaatgttga aagtttggct tttgattgga tttcaaagaa tctctattgg 2400
acagactete attacaagag tateagtgte atgaggetag etgataaaac gagacgeaca 2460
gtagttcagt atttaaataa cccacggtcg gtggtagttc atccttttgc cgggtatcta 2520
ttcttcactg attggttccg tcctgctaaa attatgagag catggagtga cggatctcac 2580
ctcttgcctg taataaacac tactcttgga tggcccaatg gcttggccat cgattgggct 2640
getteacgat tgtactgggt agatgeetat tttgataaaa ttgageacag cacetttgat 2700
ggtttagaca gaagaagact gggccatata gagcagatga cacatccgtt tggacttgcc 2760
atctttggag agcatttatt ttttactgac tggagactgg gtgccattat tcgagtcagg 2820
aaagcagatg gtggagaaat gacagttatc cgaagtggca ttgcttacat actgcatttg 2880
aaatcgtatg atgtcaacat ccagactggt tctaacgcct gtaatcaacc cacgcatcct 2940
aacggtgact geagecactt etgetteeeg gtgecaaatt teeagegagt gtgtgggtge 3000
ccttatggaa tgaggctggc ttccaatcac ttgacatgcg agggggaccc aaccaatgaa 3060
ccacccacgg agcagtgtgg cttattttcc ttcccctgta aaaatggcag atgtgtgccc 3120
aattactatc tctgtgatgg agtcgatgat tgtcatgata acagtgatga gcaactatgt 3180
ggcacactta ataatacctg ttcatcttcg gcgttcacct gtggccatgg ggagtgcatt 3240
cetgeacact ggegetgtga caaacgeaac gaetgtgtgg atggeagtga tgageacaac 3300
tgeeccacce acgeacctge tteetgeett gacacceaat acacetgtga taatcaccag 3360
tgtatctcaa agaactgggt ctgtgacaca gacaatgatt gtggggatgg atctgatgaa 3420
aagaactgca attcgacaga gacatgccaa cctagtcagt ttaattgccc caatcatcga 3480
tgtattgacc tatcgtttgt ctgtgatggt gacaaggatt gtgttgatgg atctgatgag 3540
gttggttgtg tattaaactg tactgcttct caattcaagt gtgccagtgg ggataaatgt 3600
attggcgtca caaatcgttg tgatggtgtt tttgattgca gtgacaactc ggatgaagcg 3660
ggctgtccaa ccaggcctcc tggtatgtgc cactcagatg aatttcagtg ccaagaagat 3720
ggtatctgca tcccgaactt ctgggaatgt gatgggcatc cagactgcct ctatggatct 3780
gatgagcaca atgcctgtgt ccccaagact tgcccttcat catatttcca ctgtgacaac 3840
ggaaactgca tccacagggc atggctctgt gatcgggaca atgactgcgg ggatatgagt 3900
gatgagaagg actgccctac tcagcccttt cgctgtccta gttggcaatg gcagtgtctt 3960
ggccataaca tctgtgtgaa tctgagtgta gtgtgtgatg gcatctttga ctgccccaat 4020
gggacagatg agtccccact ttgcaatggg aacagctgct cagatttcaa tggtggttgt 4080
actcacgagt gtgttcaaga gccctttggg gctaaatgcc tatgtccatt gggattctta 4140
cttgccaatg attctaagac ctgtgaagac atagatgaat gtgatattct aggctcttgt 4200
agccagcact gttacaatat gagaggttct ttccggtgct cgtgtgatac aggctacatg 4260
ttagaaagtg atgggaggac ttgcaaagtt acagcatetg agagtetget gttacttgtg 4320
gcaagtcaga acaaaattat tgccgacagt gtcacctccc aggtccacaa tatctattca 4380
ttggtcgaga atggttctta cattgtagct gttgattttg attcaattag tggtcgtatc 4440
ttttggtctg atgcaactca gggtaaaacc tggagtgcgt ttcaaaatgg aacggacaga 4500
agagtggtat ttgacagtag catcatcttg actgaaacta ttgcaataga ttgggtaggt 4560
cgtaatcttt actggacaga ctatgctctg gaaacaattg aagtctccaa aattgatggg 4620
agccacagga ctgtgctgat tagtaaaaac ctaacaaatc caagaggact agcattagat 4680
cccagaatga atgagcatct actgttctgg tctgactggg gccaccaccc tcgcatcgag 4740
cgagccagca tggacggcag catgcgcact gtcattgtcc aggacaagat cttctggccc 4800
tgcggcttaa ctattgacta ccccaacaga ctgctctact tcatggactc ctatcttgat 4860
tacatggact tttgcgatta taatggacac catcggagac aggtgatagc cagtgatttg 4920
attatacggc acccctatgc cctaactctc tttgaagact ctgtgtactg gactgaccgt 4980
getactegte gggttatgeg agecaacaag tggcatggag ggaaccagte agttgtaatg 5040
tataatatte aatggeeest tgggattgtt geggtteate ettegaaaca accaaattee 5100
gtgaatccat gtgccttttc ccgctgcagc catctctgcc tgctttcctc acaggggcct 5160
catttttact cetgtgtttg teetteagga tggagtetgt eteetgatet eetgaattge 5220
ttgagagatg atcaaccttt cttaataact gtaaggcaac atataatttt tggaatctcc 5280
cttaatcctg aggtgaagag caatgatgct atggtcccca tagcagggat acagaatggt 5340
 ttagatgttg aatttgatga tgctgagcaa tacatctatt gggttgaaaa tccaggtgaa 5400
 attcacagag tgaagacaga tggcaccaac aggacagtat ttgcttctat atctatggtg 5460
 gggccttcta tgaacctggc cttagattgg atttcaagaa acctttattc taccaatcct 5520
 agaactcagt caatcgaggt tttgacactc cacggagata tcagatacag aaaaacattg 5580
 attgccaatg atgggacage tettggagtt ggetttecaa ttggcataac tgttgateet 5640
 gctcgtggga agctgtactg gtcagaccaa ggaactgaca gtggggttcc tgccaagatc 5700
 gccagtgcta acatggatgg cacatctgtg aaaactctct ttactgggaa cctcgaacac 5760
 ctggagtgtg teactettga categaagag cagaaactet actgggcagt cactggaaga 5820
 ggagtgattg aaagaggaaa cgtggatgga acagatcgga tgatcctggt acaccagctt 5880
 teccacecet ggggaattge agtecatgat tettteettt attatactga tgaacagtat 5940
 gaggtcattg aaagagttga taaggccact ggggccaaca aaatagtctt gagagataat 6000
 gttccaaatc tgaggggtct tcaagtttat cacagacgca atgccgccga atcctcaaat 6060
 ggctgtagca acaacatgaa tgcctgtcag cagatttgcc tgcctgtacc aggaggattg 6120
 ttttcctgcg cctgtgccac tggatttaaa ctcaatcctg ataatcggtc ctgctctcca 6180
```

```
tataactett teattgttgt tteaatgetg tetgeaatea gaggetttag ettggaattg 6240
tcagatcatt cagaaaccat ggtgccggtg gcaggccaag gacgaaacgc actgcatgtg 6300
gatgtggatg tgtcctctgg ctttatttat tggtgtgatt ttagcagctc agtggcatct 6360
gataatgcga teegtagaat taaaccagat ggatettete tgatgaacat tgtgacacat 6420
ggaataggag aaaatggagt ccggggtatt gcagtggatt gggtagcagg aaatctttat 6480
ticaccaatg cettigitic tgaaacactg atagaagtte tgeggateaa tactacttac 6540
cgccgtgttc ttcttaaagt cacagtggac atgcctaggc atattgttgt agatcccaag 6600
aacagatacc tottotoggo toactatogo cagagaccaa agattgagog ttotttoott 6660
gactgtacca atcgaacagt gcttgtgtca gagggcattg tcacaccacg gggcttggca 6720
gtggaccgaa gtgatggcta cgtttattgg gttgatgatt ctttagatat aattgcaagg 6780
attogtatca atggagagaa ctctgaagtg attogttatg gcagtcgtta cccaactcct 6840
tatggcatca ctgtttttga aaattctatc atatgggtag ataggaattt gaaaaagatc 6900
ttccaagcca gcaaggaacc agagaacaca gagccaccca cagtgataag agacaatatc 6960
aactggctaa gagatgtgac catctttgac aagcaagtcc agccccggtc accagcagag 7020
gtcaacaaca accettgett ggaaaacaat ggtgggtget eteatetetg etttgetetg 7080
cctggattgc acaccccaaa atgtgactgt gcctttggga ccctgcaaag tgatggcaag 7140
aattgtgcca tttcaacaga aaatttcctc atctttgcct tgtctaattc cttgagaagc 7200
ttacacttgg accctgaaaa ccatagccca cctttccaaa caataaatgt ggaaagaact 7260
gtcatgtctc tagactatga cagtgtaagt gatagaatct acttcacaca aaatttagcc 7320
totggagttg gacagatttc ctatgccacc ctgtcttcag ggatccatac tccaactgtc 7380
attgcttcag gtatagggac tgctgatggc attgcctttg actggattac tagaagaatt 7440
tattacagtg actacctcaa ccagatgatt aattccatgg ctgaagatgg gtctaaccgc 7500
actgtgatag cccgcgttcc aaaaccaaga gcaattgtgt tagatccctg ccaagggtac 7560
ctgtactggg ctgactggga tacacatgcc aaaatcgaga gagccacatt gggaggaaac 7620
ttccgggtac ccattgtgaa cagcagtctg gtcatgccca gtgggctgac tctggactat 7680
gaagaggacc ttctctactg ggtggatgct agtctgcaga ggattgaacg cagcactctg 7740
acgggcgtgg atcgtgaagt cattgtcaat gcagccgttc atgcttttgg cttgactctc 7800
tatggccagt atatttactg gactgacttg tacacacaaa gaatttaccg agctaacaaa 7860
tatgacgggt caggtcagat tgcaatgacc acaaatttgc teteccagec caggggaate 7920
aacactgttg tgaagaacca gaaacaacag tgtaacaatc cttgtgaaca gtttaatggg 7980
ggctgcagcc atatctgtgc accaggtcca aatggtgccg agtgccagtg tccacatgag 8040
ggcaactggt atttggccaa caacaggaag cactgcattg tggacaatgg tgaacgatgt 8100
ggtgcatctt ccttcacctg ctccaatggg cgctgcatct cggaagagtg gaagtgtgat 8160
aatgacaacg actgtgggga tggcagtgat gagatggaaa gtgtctgtgc acttcacacc 8220
tgctcaccga cagcettcac ctgtgccaat gggcgatgtg tecaatacte ttaccgctgt 8280
gattactaca atgactgtgg tgatggcagt gatgaggcag ggtgcctgtt cagggactgc 8340
aatgccacca cggagtttat gtgcaataac agaaggtgca tacctcgtga gtttatctgc 8400
aatggtgtag acaactgcca tgataataac acttcagatg agaaaaattg ccctgatcgc 8460
acttgccagt ctggatacac aaaatgtcat aattcaaata tttgtattcc tcgcgtttat 8520
ttgtgtgacg gagacaatga ctgtggagat aacagtgatg aaaaccctac ttattgcacc 8580
actcacacat gcagcagcag tgagttccaa tgcgcatctg ggcgctgtat tcctcaacat 8640
tggtattgtg atcaagaaac agattgtttt gatgcctctg atgaacctgc ctcttgtggt 8700
cactctgage gaacatgeet agetgatgag tteaagtgtg atggtgggag gtgcateeea 8760
agcgaatgga tctgtgacgg tgataatgac tgtggggata tgagtgacga ggataaaagg 8820
caccagtgtc agaatcaaaa ctgctcggat tccgagtttc tctgtgtaaa tgacagacct 8880
ccggacagga ggtgcattcc ccagtcttgg gtctgtgatg gcgatgtgga ttgtactgac 8940
ggctacgatg agaatcagaa ttgcaccagg agaacttgct ctgaaaatga attcacctgt 9000
ggttacggac tgtgtatccc aaagatattc aggtgtgacc ggcacaatga ctgtggtgac 9060
tatagcgacg agaggggctg cttataccag acttgccaac agaatcagtt tacctgtcag 9120
aacgggcgct gcattagtaa aaccttcgtc tgtgatgagg ataatgactg tggagacgga 9180
tetgatgage tgatgeacet gtgccacace ccagaaceca cgtgtccace tcacgagtte 9240
aagtgtgaca atgggcgctg catcgagatg atgaaactct gcaaccacct agatgactgt 9300
ttggacaaca gcgatgagaa aggctgtggc attaatgaat gccatgaccc ttcaatcagt 9360
ggctgcgatc acaactgcac agacacctta accagtttct attgttcctg tcgtcctggt 9420
tacaagetea tgtetgacaa geggaettgt gttgatattg atgaatgeac agagatgeet 9480
tttgtctgta gccagaagtg tgagaatgta ataggctcct acatctgtaa gtgtgcccca 9540
ggctacctcc gagaaccaga tggaaagacc tgccggcaaa acagtaacat cgaaccctat 9600
ctcattttta gcaaccgtta ctatttgaga aatttaacta tagatggcta tttttactcc 9660
ttgtattgga ttgatacaca gaggcaagtc attgagagaa tgtttctgaa taagacaaac 9780
aaggagacaa tcataaacca cagactacca gctgcagaaa gtctggctgt agactgggtt 9840
tecagaaage tetaetggtt ggatgeeege etggatggee tetttgtete tgaceteaat 9900
ggtggacacc gccgcatgct ggcccagcac tgtgtggatg ccaacaacac cttctgcttt 9960
gataatccca gaggacttgc ccttcaccct caatatgggt acctctactg ggcagactgg 10020
ggtcaccgcg catacattgg gagagtaggc atggatggaa ccaacaagtc tgtgataatc 10080
```

```
tgggcagatg cccacctggg ttacatagag tactctgatt tggagggcca ccatcgacac 10200
acggtgtatg atggggcact geeteacect ttegetatta ceatttttga agacactatt 10260
tattggacag attggaatac aaggacagtg gaaaagggaa acaaatatga tggatcaaat 10320
agacagacac tggtgaacac aacacaga ccatttgaca tccatgtgta ccatccatat 10380
aggcagccca ttgtgagcaa tccctgtggt accaacaatg gtggctgttc tcatctctgc 10440
ctcatcaagc caggaggaaa agggttcact tgcgagtgtc cagatgactt ccgcaccctt 10500
caactgagtg gcagcaccta ctgcatgccc atgtgctcca gcacccagtt cctgtgcgct 10560
aacaatgaaa agtgcattcc tatctggtgg aaatgtgatg gacagaaaga ctgctcagat 10620
ggetetgatg aactggeeet ttgeeegeag egettetgee gaetgggaea gtteeagtge 10680
agtgacggca actgcaccag cccgcagact ttatgcaatg ctcaccaaaa ttgccctgat 10740
gggtctgatg aagaccgtct tctttgtgag aatcaccact gtgactccaa tgaatggcag 10800
tgcgccaaca aacgttgcat cccagaatcc tggcagtgtg acacatttaa cgactgtgag 10860
gataactcag atgaagacag ttcccactgt gccagcagga cctgccggcc gggccagttt 10920
cggtgtgcta atggccgctg catcccgcag gcctggaagt gtgatgtgga taatgattgt 10980
ggagaccact cggatgagec cattgaagaa tgcatgaget ctgcccatct ctgtgacaac 11040
ttcacagaat tcagctgcaa aacaaattac cgctgcatcc caaagtgggc cgtgtgcaat 11100
ggtgtagatg actgcaggga caacagtgat gagcaaggct gtgaggagag gacatgccat 11160
cctgtggggg atttccgctg taaaaatcac cactgcatcc ctcttcgttg gcagtgtgat 11220
gggcaaaatg actgtggaga taactcagat gaggaaaact gtgctccccg ggagtgcaca 11280
gagagegagt ttegatgtgt caateageag tgeatteeet egegatggat etgtgaceat 11340
tacaacgact gtggggacaa ctcagatgaa cgggactgtg agatgaggac ctgccatcct 11400
gaatattttc agtgtacaag tggacattgt gtacacagtg aactgaaatg cgatggatcc 11460
gctgactgtt tggatgcgtc tgatgaagct gattgtccca cacgctttcc tgatggtgca 11520
tactgccagg ctactatgtt cgaatgcaaa aaccatgttt gtatcccgcc atattggaaa 11580
tgtgatggcg atgatgactg tggcgatggt tcagatgaag aacttcacct gtgcttggat 11640
gttccctgta attcaccaaa ccgtttccgg tgtgacaaca atcgctgcat ttatagtcat 11700
gaggtgtgca atggtgtgga tgactgtgga gatggaactg atgagacaga ggagcactgt 11760
agaaaaccga cccctaaacc ttgtacagaa tatgaatata agtgtggcaa tgggcattgc 11820
attocacatg acaatgtgtg tgatgatgcc gatgactgtg gtgactggtc cgatgaactg 11880
ggttgcaata aaggaaaaga aagaacatgt gctgaaaata tatgcgagca aaattgtacc 11940
caattaaatg aaggaggatt tatctgctcc tgtacagctg ggttcgaaac caatgttttt 12000
gacagaacct cctgtctaga tatcaatgaa tgtgaacaat ttgggacttg tccccagcac 12060
tgcagaaata ccaaaggaag ttatgagtgt gtctgtgctg atggcttcac gtctatgagt 12120
gaccgccctg gaaaacgatg tgcagctgag ggtagctctc ctttgttgct actgcctgac 12180
aatgtccgaa ttcgaaaata taatctctca tctgagaggt tctcagagta tcttcaagat 12240
gaggaatata tocaagotgt tgattatgat tgggatocca aggacatagg cotcagtgtt 12300
gtgtattaca ctgtgcgagg ggagggctct aggtttggtg ctatcaaacg tgcctacatc 12360
cccaactttg aatccggccg caataatctt gtgcaggaag ttgacctgaa actgaaatac 12420
gtaatgcagc cagatggaat agcagtggac tgggttggaa ggcatattta ctggtcagat 12480
gtcaagaata aacgcattga ggtggctaaa cttgatggaa ggtacagaaa gtggctgatt 12540
tecaetgace tggaceaace agetgetatt getgtgaate ecaaactagg gettatgtte 12600
tggactgact ggggaaagga acctaaaatc gagtctgcct ggatgaatgg agaggaccgc 12660
aacatcctgg ttttcgagga ccttggttgg ccaactggcc tttctatcga ttatttgaac 12720
aatgaccgaa tctactggag tgacttcaag gaggacgtta ttgaaaccat aaaatatgat 12780
gggactgata ggagagtcat tgcaaaggaa gcaatgaacc cttacagcct ggacatcttt 12840
gaagaccagt tatactggat atctaaggaa aagggagaag tatggaaaca aaataaattt 12900
gggcaaggaa agaaagagaa aacgctggta gtgaaccctt ggctcactca agttcgaatc 12960
tttcatcaac tcagatacaa taagtcagtg cccaaccttt gcaaacagat ctgcagccac 13020
ctctgccttc tgagacctgg aggatacagc tgtgcctgtc cccaaggctc cagctttata 13080
gaggggagca ccactgagtg tgatgcagcc atcgaactgc ctatcaacct gccccccca 13140
tgcaggtgca tgcacggagg aaattgctat tttgatgaga ctgacctccc caaatgcaag 13200
tgtcctagcg gctacaccgg aaaatattgt gaaatggcgt tttcaaaagg catctctcca 13260
ggaacaaccg cagtagctgt gctgttgaca atcctcttga tcgtcgtaat tggagctctg 13320
gcaattgcag gattcttcca ctatagaagg accggctccc ttttgcctgc tctgcccaag 13380
ctgccaaget taagcagtet egteaageee tetgaaaatg ggaatggggt gaeetteaga 13440
tcaggggcag atcttaacat ggatattgga gtgtctggtt ttggacctga gactgctatt 13500
gacaggtcaa tggcaatgag tgaagacttt gtcatggaaa tggggaagca gcccataata 13560
tttgaaaacc caatgtactc agccagagac agtgctgtca aagtggttca gccaatccag 13620
gtgactgtat ctgaaaatgt ggataataag aattatggaa gtcccataaa cccttctgag 13680
atagttccag agacaaaccc aacttcacca gctgctgatg gaactcaggt gacaaaatgg 13740
aatctcttca aacgaaaatc taaacaaact accaactttg aaaatccaat ctatgcacag 13800
atggagaacg agcaaaagga aagtgttgct gcgacaccac ctccatcacc ttcgctccct 13860
getaageeta ageeteette gagaagagae ecaaeteeaa eetattetge aacagaagae 13920
                                                                  13968
acttttaaag acaccgcaaa tcttgttaaa gaagactctg aagtatag
```

```
<210> 2
<211> 4655
<212> PRT
<213> Homo sapiens <400> 2
Met Asp Arg Gly Pro Ala Ala Val Ala Cys Thr Leu Leu Leu Ala Leu
Val Ala Cys Leu Ala Pro Ala Ser Gly Gln Glu Cys Asp Ser Ala His
Phe Arg Cys Gly Ser Gly His Cys Ile Pro Ala Asp Trp Arg Cys Asp
Gly Thr Lys Asp Cys Ser Asp Asp Ala Asp Glu Ile Gly Cys Ala Val
Val Thr Cys Gln Gln Gly Tyr Phe Lys Cys Gln Ser Glu Gly Gln Cys
Ile Pro Ser Ser Trp Val Cys Asp Gln Asp Gln Asp Cys Asp Asp Gly
Ser Asp Glu Arg Gln Asp Cys Ser Gln Ser Thr Cys Ser Ser His Gln
                                 105
Ile Thr Cys Ser Asn Gly Gln Cys Ile Pro Ser Glu Tyr Arg Cys Asp
 His Val Arg Asp Cys Pro Asp Gly Ala Asp Glu Asn Asp Cys Gln Tyr
 Pro Thr Cys Glu Gln Leu Thr Cys Asp Asn Gly Ala Cys Tyr Asn Thr
                                         155
 Ser Gln Lys Cys Asp Trp Lys Val Asp Cys Arg Asp Ser Ser Asp Glu
 Ile Asn Cys Thr Glu Ile Cys Leu His Asn Glu Phe Ser Cys Gly Asn
 Gly Glu Cys Ile Pro Arg Ala Tyr Val Cys Asp His Asp Asn Asp Cys
 Gln Asp Gly Ser Asp Glu His Ala Cys Asn Tyr Pro Thr Cys Gly Gly
 Tyr Gln Phe Thr Cys Pro Ser Gly Arg Cys Ile Tyr Gln Asn Trp Val
                     230
 Cys Asp Gly Glu Asp Asp Cys Lys Asp Asn Gly Asp Glu Asp Gly Cys
 Glu Ser Gly Pro His Asp Val His Lys Cys Ser Pro Arg Glu Trp Ser
 Cys Pro Glu Ser Gly Arg Cys Ile Ser Ile Tyr Lys Val Cys Asp Gly
                             280
 Ile Leu Asp Cys Pro Gly Arg Glu Asp Glu Asn Asn Thr Ser Thr Gly
```

290

300

_	Tyr	Cys	Ser	Met		Leu	Суз	Ser	Ala		Asn	Cys	Gln	Tyr	
305					310				_	315	_	_	_		320
Cys	His	Glu	Thr	9ro 325	Tyr	Gly	Gly	Ala	330	Phe	Cys	Pro	Pro	335	TYT
Ile	Ile	Asn	His 340	Asn	Asp	Ser	Arg	Thr 345	Cys	Val	Glu	Phe	Asp 350	Asp	Cys
Gln	Ile	Trp 355	Gly	Ile	Cys	Asp	Gln 360	Lys	Cys	Glu	Ser	Arg 365	Pro	Gly	Arg
His	Leu 370	Cys	His	Cys	Glu	Glu 375	Gly	Tyr	Ile	Leu	Glu 380	Arg	Gly	Gln	Tyr
Cys 385	Lys	Ala	Asn	Asp	Ser 390	Phe	Gly	Glu	Ala	Ser 395	Ile	Ile	Phe	Ser	Asn 400
Gly	Arg	Asp	Leu	Leu 405	Ile	Gly	Asp	Ile	His 410	Gly	Arg	Ser	Phe	Arg 415	Ile
Leu	Val	Glu	Ser 420	Gln	Asn	Arg	Gly	Val 425	Ala	Val	Gly	Val	Ala 430	Phe	His
Tyr	His	Leu 435	G1n	Arg	Val	Phe	Trp 440	Thr	Asp	Thr	Val	Gln 445	Asn	Lys	Val
Phe	Ser 450	Val	Asp	Ile	Asn	Gly 455	Leu	Asn	Ile	Gln	Glu 460	Val	Leu	Asn	Val
Ser 465	Val	Glu	Thr	Pro	Glu 470	Asn	Leu	Ala	Val	Asp 475	Trp	Val	Asn	Asn	Lys 480
Ile	Tyr	Leu	Val	Glu 485		Lys	Val	Asn	Arg 490	Ile	Asp	Met	Val	Asn 495	Leu
Asp	Gly	Ser	Tyr 500		Val	Thr	Leu	Ile 505	Thr	Glu	Asn	Leu	Gly 510	His	Pro
Arg	Gly	Ile 515		Val	Asp	Pro	Thr 520	Val	Gly	Tyr	Leu	Phe 525	Phe	Ser	Asp
Trp	Glu 530		Leu	. Ser	Gly	Glu 535		Lys	Leu	Glu	Arg 540	Ala	Phe	Met	Asp
Gly 545		Asn	Arg	Lys	Asp 550		Val	Lys	Thr	<b>Lys</b> 555	Leu	Gly	Trp	Pro	Ala 560
Gly	Val	Thr	Leu	Asp 565		Ile	Ser	Lys	Arg 570		Tyr	Trp	Val	. Asp 575	Ser
Arg	Phe	Asp	Tyr 580		. Glu	Thr	Val	Thr 585		Asp	Gly	Ile	590	Arg	Lys
Thr	Val	Val 595		: Gly	Gly	Ser	Leu 600		Pro	His	Pro	Phe 605	Gly	Val	. Ser
Leu	Phe 610		Gly	, Glr	val	Phe 615		Thr	Asp	Trp	Thr 620	Lys	. Met	: Ala	. Val
Leu 625		: Ala	a Asr	ı Lys	Phe 630		Glu	Thr	Asr	635	Gln	Val	Туг	туг	640
Ala	. Ser	: Lev	ı Arç	9 Pro 645		: Gly	y Val	Thi	• Val		His	Se1	r Lei	655	g Gln

Pro Tyr Ala Thr Asn Pro Cys Lys Asp Asn Asn Gly Gly Cys Glu Gln Val Cys Val Leu Ser His Arg Thr Asp Asn Asp Gly Leu Gly Phe Arg 680 Cys Lys Cys Thr Phe Gly Phe Gln Leu Asp Thr Asp Glu Arg His Cys Ile Ala Val Gln Asn Phe Leu Ile Phe Ser Ser Gln Val Ala Ile Arg Gly Ile Pro Phe Thr Leu Ser Thr Gln Glu Asp Val Met Val Pro Val Ser Gly Asn Pro Ser Phe Phe Val Gly Ile Asp Phe Asp Ala Gln Asp Ser Thr Ile Phe Phe Ser Asp Met Ser Lys His Met Ile Phe Lys Gln Lys Ile Asp Gly Thr Gly Arg Glu Ile Leu Ala Ala Asn Arg Val Glu Asn Val Glu Ser Leu Ala Phe Asp Trp Ile Ser Lys Asn Leu Tyr Trp 790 Thr Asp Ser His Tyr Lys Ser Ile Ser Val Met Arg Leu Ala Asp Lys Thr Arg Arg Thr Val Val Gln Tyr Leu Asn Asn Pro Arg Ser Val Val Val His Pro Phe Ala Gly Tyr Leu Phe Phe Thr Asp Trp Phe Arg Pro 840 Ala Lys Ile Met Arg Ala Trp Ser Asp Gly Ser His Leu Leu Pro Val Ile Asn Thr Thr Leu Gly Trp Pro Asn Gly Leu Ala Ile Asp Trp Ala 870 Ala Ser Arg Leu Tyr Trp Val Asp Ala Tyr Phe Asp Lys Ile Glu His Ser Thr Phe Asp Gly Leu Asp Arg Arg Arg Leu Gly His Ile Glu Gln 905 Met Thr His Pro Phe Gly Leu Ala Ile Phe Gly Glu His Leu Phe Phe 920 Thr Asp Trp Arg Leu Gly Ala Ile Ile Arg Val Arg Lys Ala Asp Gly Gly Glu Met Thr Val Ile Arg Ser Gly Ile Ala Tyr Ile Leu His Leu 955 Lys Ser Tyr Asp Val Asn Ile Gln Thr Gly Ser Asn Ala Cys Asn Gln 965 Pro Thr His Pro Asn Gly Asp Cys Ser His Phe Cys Phe Pro Val Pro 985 Asn Phe Gln Arg Val Cys Gly Cys Pro Tyr Gly Met Arg Leu Ala Ser

	His 010	Leu	Thr	Cys	Glu 1	Gly .015	Asp	Pro	Thr		G1u .020	Pro	Pro	Thr	<b>Gl</b> u
Gln 1025	-	Gly	Leu		Ser 1030	Phe	Pro	Cys		Asn 1035	Gly	Arg	Cys		Pro 040
Asn	Tyr	Tyr		Cys 1045	Asp	Gly	Val		Asp 1050	Cys	His	Asp		Ser .055	Asp
Glu	<b>Gl</b> n		Cys .060	Gly	Thr	Leu		<b>Asn</b> .065	Thr	Cys	Ser		Ser .070	Ala	Phe
Thr	_	Gly .075	His	Gly	Glu	_	Ile LO80	Pro	Ala	His		Arg 1085	Суз	Asp	Lys
	<b>As</b> n 090	Asp	Cys	Val	Asp 1	Gly .095	Ser	Asp	Glu		Asn L100	Cys	Pro	Thr	His
Ala 1105		Ala	Ser		Leu 1110	Asp	Thr	Gln		Thr 1115	Cys	Asp	Asn		Gln 120
Cys	Ile	Ser		<b>As</b> n 1125	Trp	Val	Cys	Asp	Thr L130	Asp	Asn	Asp	Cys 1	Gly 135	Asp
Gly	Ser		Glu L140	Lys	Asn	Cys		Ser L145	Thr	Glu	Thr		Gln L150	Pro	Ser
Gln		Asn L155	Cys	Pro	Asn		Arg 1160	Cys	Ile	Asp		<b>Ser</b> 1165	Phe	Val	Cys
	Gly .170	Asp	Lys	Asp	Cys	Val 1175	Asp	Gly	Ser	Asp	Glu 1180	Val	Gly	Cys	Val
Leu 1185		Cys	Thr		Ser 1190	Gln	Phe	Lys		Ala 1195	Ser	Gly	Asp	Lys	Cys 1200
Ile	Gly	Val		Asn 1205	Arg	Cys	Asp		Val 1210	Phe	Asp	Cys	Ser	Asp 1215	Asn
Ser	Asp		Ala 1220	Gly	Cys	Pro		Arg 1225	Pro	Pro	Gly	Met	Cys 1230	His	Ser
Asp		Phe 1235	Gln	Cys	Gln		Asp 1240	Gly	Ile	Cys	Ile	Pro 1245	Asn	Phe	Trp
	Cys 1250	Asp	Gly	His	Pro	Asp 1255		Leu	Tyr		Ser 1260	Asp	Glu	His	Asn
Ala 126		Val	Pro		Thr 1270	Cys	Pro	Ser	Ser	Tyr 1275		His	Cys	Asp	Asn 1280
Gly	Asn	Cys	Ile	His 1285	Arg	Ala	Trp		Cys 1290		Arg	Asp	Asn	Asp 1295	Cys
Gly	Asp	Met	Ser 1300		Glu	Lys		Cys 1305		Thr	Gln	Pro	Phe 1310	Arg	Cys
Pro		Trp 1315		Trp	Gln	Cys	Leu 1320		His	Asn	lle	Cys 1325		Asn	Leu
	Val 1330		Cys	Asp	Gly	Ile 1335		Asp	Cys	Pro	Asn 1340	Gly	Thr	Asp	Glu

- Ser Pro Leu Cys Asn Gly Asn Ser Cys Ser Asp Phe Asn Gly Gly Cys 1345 1350 1355 1360
- Thr His Glu Cys Val Glu Pro Phe Gly Ala Lys Cys Leu Cys Pro 1365 1370 1375
- Leu Gly Phe Leu Leu Ala Asn Asp Ser Lys Thr Cys Glu Asp Ile Asp 1380 1385 1390
- Glu Cys Asp Ile Leu Gly Ser Cys Ser Gln His Cys Tyr Asn Met Arg 1395 1400 1405
- Gly Ser Phe Arg Cys Ser Cys Asp Thr Gly Tyr Met Leu Glu Ser Asp 1410 1420
- Gly Arg Thr Cys Lys Val Thr Ala Ser Glu Ser Leu Leu Leu Leu Val 1425 1430 1435 1440
- Ala Ser Gln Asn Lys Ile Ile Ala Asp Ser Val Thr Ser Gln Val His 1445 1450 1455
- Asn Ile Tyr Ser Leu Val Glu Asn Gly Ser Tyr Ile Val Ala Val Asp 1460 1465 1470
- Phe Asp Ser Ile Ser Gly Arg Ile Phe Trp Ser Asp Ala Thr Gln Gly 1475 1480 1485
- Lys Thr Trp Ser Ala Phe Gln Asn Gly Thr Asp Arg Arg Val Val Phe 1490 1495 1500
- Asp Ser Ser Ile Ile Leu Thr Glu Thr Ile Ala Ile Asp Trp Val Gly 1505 1510 1515 1520
- Arg Asn Leu Tyr Trp Thr Asp Tyr Ala Leu Glu Thr Ile Glu Val Ser 1525 1530 1535
- Lys Ile Asp Gly Ser His Arg Thr Val Leu Ile Ser Lys Asn Leu Thr 1540 1545 1550
- Asn Pro Arg Gly Leu Ala Leu Asp Pro Arg Met Asn Glu His Leu Leu 1555 1560 1565
- Phe Trp Ser Asp Trp Gly His His Pro Arg Ile Glu Arg Ala Ser Met 1570 1575 1580
- Asp Gly Ser Met Arg Thr Val Ile Val Gln Asp Lys Ile Phe Trp Pro 1585 1590 1595 1600
- Cys Gly Leu Thr Ile Asp Tyr Pro Asn Arg Leu Leu Tyr Phe Met Asp 1605 1610 1615
- Ser Tyr Leu Asp Tyr Met Asp Phe Cys Asp Tyr Asn Gly His His Arg 1620 1625 1630
- Arg Gln Val Ile Ala Ser Asp Leu Ile Ile Arg His Pro Tyr Ala Leu 1635 1640 1645
- Thr Leu Phe Glu Asp Ser Val Tyr Trp Thr Asp Arg Ala Thr Arg Arg 1650 1655 1660
- Val Met Arg Ala Asn Lys Trp His Gly Gly Asn Gln Ser Val Val Met 1665 1670 1675 1680
- Tyr Asn Ile Gln Trp Pro Leu Gly Ile Val Ala Val His Pro Ser Lys 1685 1690 1695

- Gln Pro Asn Ser Val Asn Pro Cys Ala Phe Ser Arg Cys Ser His Leu 1700 1705 1710
- Cys Leu Leu Ser Ser Gln Gly Pro His Phe Tyr Ser Cys Val Cys Pro 1715 1720 1725
- Ser Gly Trp Ser Leu Ser Pro Asp Leu Leu Asn Cys Leu Arg Asp Asp 1730 1740
- Gln Pro Phe Leu Ile Thr Val Arg Gln His Ile Ile Phe Gly Ile Ser 1745 1750 1755 1760
- Leu Asn Pro Glu Val Lys Ser Asn Asp Ala Met Val Pro Ile Ala Gly 1765 1770 1775
- Ile Gln Asn Gly Leu Asp Val Glu Phe Asp Asp Ala Glu Gln Tyr Ile 1780 1785 1790
- Tyr Trp Val Glu Asn Pro Gly Glu Ile His Arg Val Lys Thr Asp Gly 1795 1800 1805
- Thr Asn Arg Thr Val Phe Ala Ser Ile Ser Met Val Gly Pro Ser Met 1810 1815 1820
- Asn Leu Ala Leu Asp Trp Ile Ser Arg Asn Leu Tyr Ser Thr Asn Pro 1825 1830 1835 1840
- Arg Thr Gln Ser Ile Glu Val Leu Thr Leu His Gly Asp Ile Arg Tyr
  1845 1850 1855
- Arg Lys Thr Leu Ile Ala Asn Asp Gly Thr Ala Leu Gly Val Gly Phe 1860 1865 1870
- Pro Ile Gly Ile Thr Val Asp Pro Ala Arg Gly Lys Leu Tyr Trp Ser
- Asp Gln Gly Thr Asp Ser Gly Val Pro Ala Lys Ile Ala Ser Ala Asn 1890 1895 1900
- Met Asp Gly Thr Ser Val Lys Thr Leu Phe Thr Gly Asn Leu Glu His 1905 1910 1915 1920
- Leu Glu Cys Val Thr Leu Asp Ile Glu Glu Gln Lys Leu Tyr Trp Ala 1925 1930 1935
- Val Thr Gly Arg Gly Val Ile Glu Arg Gly Asn Val Asp Gly Thr Asp 1940 1945 1950
- Arg Met Ile Leu Val His Gln Leu Ser His Pro Trp Gly Ile Ala Val 1955 1960 1965
- His Asp Ser Phe Leu Tyr Tyr Thr Asp Glu Gln Tyr Glu Val Ile Glu 1970 1975 1980
- Arg Val Asp Lys Ala Thr Gly Ala Asn Lys Ile Val Leu Arg Asp Asn 1985 1990 1995 2000
- Val Pro Asn Leu Arg Gly Leu Gln Val Tyr His Arg Arg Asn Ala Ala 2005 2010 2015
- Glu Ser Ser Asn Gly Cys Ser Asn Asn Met Asn Ala Cys Gln Gln Ile 2020 2025 2030
- Cys Leu Pro Val Pro Gly Gly Leu Phe Ser Cys Ala Cys Ala Thr Gly

2035 2040 2045

- Phe Lys Leu Asn Pro Asp Asn Arg Ser Cys Ser Pro Tyr Asn Ser Phe 2050 2060
- Ile Val Val Ser Met Leu Ser Ala Ile Arg Gly Phe Ser Leu Glu Leu 2065 2070 2075 2080
- Ser Asp His Ser Glu Thr Met Val Pro Val Ala Gly Gln Gly Arg Asn 2085 2090 2095
- Ala Leu His Val Asp Val Asp Val Ser Ser Gly Phe Ile Tyr Trp Cys 2100 2105 2110
- Asp Phe Ser Ser Ser Val Ala Ser Asp Asn Ala Ile Arg Arg Ile Lys 2115 2120 2125
- Pro Asp Gly Ser Ser Leu Met Asn Ile Val Thr His Gly Ile Gly Glu 2130 2135 2140
- Asn Gly Val Arg Gly Ile Ala Val Asp Trp Val Ala Gly Asn Leu Tyr 2145 2150 2155 2160
- Phe Thr Asn Ala Phe Val Ser Glu Thr Leu Ile Glu Val Leu Arg Ile 2165 2170 2175
- Asn Thr Thr Tyr Arg Arg Val Leu Leu Lys Val Thr Val Asp Met Pro 2180 2185 2190
- Arg His Ile Val Val Asp Pro Lys Asn Arg Tyr Leu Phe Trp Ala Asp 2195 2200 2205
- Tyr Gly Gln Arg Pro Lys Ile Glu Arg Ser Phe Leu Asp Cys Thr Asn 2210 2215 2220
- Arg Thr Val Leu Val Ser Glu Gly Ile Val Thr Pro Arg Gly Leu Ala 2225 2230 2235 2240
- Val Asp Arg Ser Asp Gly Tyr Val Tyr Trp Val Asp Asp Ser Leu Asp 2245 2250 2255
- Ile Ile Ala Arg Ile Arg Ile Asn Gly Glu Asn Ser Glu Val Ile Arg 2260 2265 2270
- Tyr Gly Ser Arg Tyr Pro Thr Pro Tyr Gly Ile Thr Val Phe Glu Asn 2275 2280 2285
- Ser Ile Ile Trp Val Asp Arg Asn Leu Lys Lys Ile Phe Gln Ala Ser 2290 2295 2300
- Lys Glu Pro Glu Asn Thr Glu Pro Pro Thr Val Ile Arg Asp Asn Ile 2305 2310 2315 2320
- Asn Trp Leu Arg Asp Val Thr Ile Phe Asp Lys Gln Val Gln Pro Arg 2325 2330 2335
- Ser Pro Ala Glu Val Asn Asn Pro Cys Leu Glu Asn Asn Gly Gly 2340 2345 2350
- Cys Ser His Leu Cys Phe Ala Leu Pro Gly Leu His Thr Pro Lys Cys 2355 2360 2365
- Asp Cys Ala Phe Gly Thr Leu Gln Ser Asp Gly Lys Asn Cys Ala Ile 2370 2375 2380

- Ser Thr Glu Asn Phe Leu Ile Phe Ala Leu Ser Asn Ser Leu Arg Ser 2385 2390 2395 2400
- Leu His Leu Asp Pro Glu Asn His Ser Pro Pro Phe Gln Thr Ile Asn 2405 2410 2415
- Val Glu Arg Thr Val Met Ser Leu Asp Tyr Asp Ser Val Ser Asp Arg 2420 2425 2430
- Ile Tyr Phe Thr Gln Asn Leu Ala Ser Gly Val Gly Gln Ile Ser Tyr 2435 2440 2445
- Ala Thr Leu Ser Ser Gly Ile His Thr Pro Thr Val Ile Ala Ser Gly 2450 2455 2460
- Ile Gly Thr Ala Asp Gly Ile Ala Phe Asp Trp Ile Thr Arg Arg Ile 2465 2470 2475 2480
- Tyr Tyr Ser Asp Tyr Leu Asn Gln Met Ile Asn Ser Met Ala Glu Asp 2485 2490 2495
- Gly Ser Asn Arg Thr Val Ile Ala Arg Val Pro Lys Pro Arg Ala Ile 2500 2505 2510
- Val Leu Asp Pro Cys Gln Gly Tyr Leu Tyr Trp Ala Asp Trp Asp Thr 2515 2520 2525
- His Ala Lys Ile Glu Arg Ala Thr Leu Gly Gly Asn Phe Arg Val Pro 2530 2535 2540
- Ile Val Asn Ser Ser Leu Val Met Pro Ser Gly Leu Thr Leu Asp Tyr 2545 2550 2555 2560
- Glu Glu Asp Leu Leu Tyr Trp Val Asp Ala Ser Leu Gln Arg Ile Glu 2565 2570 2575
- Arg Ser Thr Leu Thr Gly Val Asp Arg Glu Val Ile Val Asn Ala Ala 2580 2590
- Val His Ala Phe Gly Leu Thr Leu Tyr Gly Gln Tyr Ile Tyr Trp Thr 2595 2600 2605
- Asp Leu Tyr Thr Gln Arg Ile Tyr Arg Ala Asn Lys Tyr Asp Gly Ser 2610 2620
- Gly Gln Ile Ala Met Thr Thr Asn Leu Leu Ser Gln Pro Arg Gly Ile 2625 2630 2635 2640
- Asn Thr Val Val Lys Asn Gln Lys Gln Gln Cys Asn Asn Pro Cys Glu 2645 2650 2655
- Gln Phe Asn Gly Gly Cys Ser His Ile Cys Ala Pro Gly Pro Asn Gly 2660 2665 2670
- Ala Glu Cys Gln Cys Pro His Glu Gly Asn Trp Tyr Leu Ala Asn Asn 2675 2680 2685
- Arg Lys His Cys Ile Val Asp Asn Gly Glu Arg Cys Gly Ala Ser Ser 2690 2695 2700
- Phe Thr Cys Ser Asn Gly Arg Cys Ile Ser Glu Glu Trp Lys Cys Asp
- Asn Asp Asn Asp Cys Gly Asp Gly Ser Asp Glu Met Glu Ser Val Cys 2725 2730 2735

- Ala Leu His Thr Cys Ser Pro Thr Ala Phe Thr Cys Ala Asn Gly Arg 2740 2745 2750
- Cys Val Gln Tyr Ser Tyr Arg Cys Asp Tyr Tyr Asn Asp Cys Gly Asp 2755 2760 2765
- Gly Ser Asp Glu Ala Gly Cys Leu Phe Arg Asp Cys Asn Ala Thr Thr 2770 2775 2780
- Glu Phe Met Cys Asn Asn Arg Arg Cys Ile Pro Arg Glu Phe Ile Cys 2785 2790 2795 2800
- Asn Gly Val Asp Asn Cys His Asp Asn Asn Thr Ser Asp Glu Lys Asn 2805 2810 2815
- Cys Pro Asp Arg Thr Cys Gln Ser Gly Tyr Thr Lys Cys His Asn Ser 2820 2825 2830
- Asn Ile Cys Ile Pro Arg Val Tyr Leu Cys Asp Gly Asp Asn Asp Cys 2835 2840 2845
- Gly Asp Asn Ser Asp Glu Asn Pro Thr Tyr Cys Thr Thr His Thr Cys 2850 2855 2860
- Ser Ser Ser Glu Phe Gln Cys Ala Ser Gly Arg Cys Ile Pro Gln His 2865 2870 2875 2880
- Trp Tyr Cys Asp Gln Glu Thr Asp Cys Phe Asp Ala Ser Asp Glu Pro 2885 2890 2895
- Ala Ser Cys Gly His Ser Glu Arg Thr Cys Leu Ala Asp Glu Phe Lys
- Cys Asp Gly Gly Arg Cys Ile Pro Ser Glu Trp Ile Cys Asp Gly Asp 2915 2920 2925
- Asn Asp Cys Gly Asp Met Ser Asp Glu Asp Lys Arg His Gln Cys Gln 2930 2935 2940
- Asn Gln Asn Cys Ser Asp Ser Glu Phe Leu Cys Val Asn Asp Arg Pro 2945 2950 2955 2960
- Pro Asp Arg Arg Cys Ile Pro Gln Ser Trp Val Cys Asp Gly Asp Val 2965 2970 2975
- Asp Cys Thr Asp Gly Tyr Asp Glu Asn Gln Asn Cys Thr Arg Arg Thr 2980 2985 2990
- Cys Ser Glu Asn Glu Phe Thr Cys Gly Tyr Gly Leu Cys Ile Pro Lys 2995 3000 3005
- Ile Phe Arg Cys Asp Arg His Asn Asp Cys Gly Asp Tyr Ser Asp Glu 3010 3020
- Arg Gly Cys Leu Tyr Gln Thr Cys Gln Gln Asn Gln Phe Thr Cys Gln 3025 3030 3035 3040
- Asn Gly Arg Cys Ile Ser Lys Thr Phe Val Cys Asp Glu Asp Asn Asp 3045 3050 3055
- Cys Gly Asp Gly Ser Asp Glu Leu Met His Leu Cys His Thr Pro Glu 3060 3065 3070
- Pro Thr Cys Pro Pro His Glu Phe Lys Cys Asp Asn Gly Arg Cys Ile

	Met 3090	Met	Lys	Leu		Asn 3095	His	Leu	Asp	_	Cys 3100	Leu	Asp	Asn	Ser
Asp 3105		Lys	Gly	Cys	Gly 3110	Ile	Asn	Glu		His 3115	Asp	Pro	Ser		Ser 3120
Gly	Cys	Asp		Asn 3125	Cys	Thr	Asp		Leu 3130	Thr	Ser	Phe		Cys 3135	Ser
Cys	Arg		Gly 3140	Tyr	Lys	Leu		Ser 3145	Asp	Lys	Arg		Cys 3150	Val	Asp
Ile		Glu 3155	Cys	Thr	Glu		Pro 3160	Phe	Val	Суз		Gln 3165	Lys	Суз	Glu
	Val 3170	Ile	Gly	Ser		11e 3175	Cys	Lys	Cys		Pro 3180	Gly	Tyr	Leu	Arg
Glu 318		Asp	Gly	Lys	Thr 3190	Cys	Arg	Gln		Ser 3195	Asn	Ile	Glu		Tyr 3200
Leu	Ile	Phe		Asn 3205	Arg	Tyr	Tyr		Arg 3210	Asn	Leu	Thr		Asp 3215	Gly
Tyr	Phe		Ser 3220	Leu	Ile	Leu		Gly 3225	Leu	Asp	Asn		Val 3230	Ala	Leu
Asp		<b>Asp</b> 3235	Arg	Val	Glu		Arg 3240	Leu	Tyr	Trp		Asp 3245	Thr	Gln	Arg
	Val 3250	Ile	Glu	Arg		Phe 3255	Leu	Asn	Lys		Asn 3260	Lys	<b>Gl</b> u	Thr	Ile
11e 326		His	Arg	Leu	Pro 3270	Ala	Ala	Glu		Leu 3275	Ala	Val	Asp		Val 3280
Ser	Arg	Lys		Tyr 3285	Trp	Leu	Asp		Arg 3290	Leu	Asp	Gly		Phe 3295	Val
Ser	Asp		Asn 3300	Gly	Gly	His		Arg 3305	Met	Leu	Ala		His 3310	Cys	Val
Asp		<b>As</b> n 3315	Asn	Thr	Phe		Phe 3320	Asp	Asn	Pro		Gly 3325	Leu	Ala	Leu
	Pro 3330	Gln	Tyr	Gly		Leu 3335	Tyr	Trp	Ala		Trp 3340	Gly	His	Arg	Ala
Tyr 334		Gly	Arg	Val	Gly 3350		Asp	Gly		Asn 3355	Lys	Ser	Val		Ile 3360
Ser	Thr	Lys		Glu 3365	Trp	Pro	Asn		Ile 3370		Ile	Asp		Thr 3375	Asn
Asp	Leu		Tyr 3380	Trp	Ala	Asp		His 3385	Leu	Gly	Tyr		Glu 3390	Tyr	Ser
Asp		Glu 3395		His	His		His 3400	Thr	Val	Tyr		Gly 3405		Leu	Pro
	Pro		Ala	Ile		Ile 3415		Glu	Asp		Ile 3420		Trp	Thr	Asp

- Trp Asn Thr Arg Thr Val Glu Lys Gly Asn Lys Tyr Asp Gly Ser Asn 3425 3430 3435 3440
- Arg Gln Thr Leu Val Asn Thr Thr His Arg Pro Phe Asp Ile His Val 3445 3450 3455
- Tyr His Pro Tyr Arg Gln Pro Ile Val Ser Asn Pro Cys Gly Thr Asn 3460 3465 3470
- Asn Gly Gly Cys Ser His Leu Cys Leu Ile Lys Pro Gly Gly Lys Gly 3475 3480 3485
- Phe Thr Cys Glu Cys Pro Asp Asp Phe Arg Thr Leu Gln Leu Ser Gly 3490 3495 3500
- Ser Thr Tyr Cys Met Pro Met Cys Ser Ser Thr Gln Phe Leu Cys Ala 3505 3510 3515 3520
- Asn Asn Glu Lys Cys Ile Pro Ile Trp Trp Lys Cys Asp Gly Gln Lys 3525 3530 3535
- Asp Cys Ser Asp Gly Ser Asp Glu Leu Ala Leu Cys Pro Gln Arg Phe 3540 3550
- Cys Arg Leu Gly Gln Phe Gln Cys Ser Asp Gly Asn Cys Thr Ser Pro 3555 3560 3565
- Gln Thr Leu Cys Asn Ala His Gln Asn Cys Pro Asp Gly Ser Asp Glu 3570 3580
- Asp Arg Leu Leu Cys Glu Asn His His Cys Asp Ser Asn Glu Trp Gln 3585 3590 3595 3600
- Cys Ala Asn Lys Arg Cys Ile Pro Glu Ser Trp Gln Cys Asp Thr Phe 3605 3610 3615
- Asn Asp Cys Glu Asp Asn Ser Asp Glu Asp Ser Ser His Cys Ala Ser 3620 3625 3630
- Arg Thr Cys Arg Pro Gly Gln Phe Arg Cys Ala Asn Gly Arg Cys Ile 3635 3640 3645
- Pro Gln Ala Trp Lys Cys Asp Val Asp Asn Asp Cys Gly Asp His Ser 3650 3655 3660
- Asp Glu Pro Ile Glu Glu Cys Met Ser Ser Ala His Leu Cys Asp Asn 3665 3670 3680
- Phe Thr Glu Phe Ser Cys Lys Thr Asn Tyr Arg Cys Ile Pro Lys Trp 3685 3690 3695
- Ala Val Cys Asn Gly Val Asp Asp Cys Arg Asp Asn Ser Asp Glu Gln 3700 3705 3710
- Gly Cys Glu Glu Arg Thr Cys His Pro Val Gly Asp Phe Arg Cys Lys 3715 3720 3725
- Asn His His Cys Ile Pro Leu Arg Trp Gln Cys Asp Gly Gln Asn Asp 3730 3740
- Cys Gly Asp Asn Ser Asp Glu Glu Asn Cys Ala Pro Arg Glu Cys Thr 3745 3750 3755 3760
- Glu Ser Glu Phe Arg Cys Val Asn Gln Gln Cys Ile Pro Ser Arg Trp 3765 3770 3775

- Ile Cys Asp His Tyr Asn Asp Cys Gly Asp Asn Ser Asp Glu Arg Asp 3780 3785 3790
- Cys Glu Met Arg Thr Cys His Pro Glu Tyr Phe Gln Cys Thr Ser Gly 3795 3800 3805
- His Cys Val His Ser Glu Leu Lys Cys Asp Gly Ser Ala Asp Cys Leu 3810 3815 3820
- Asp Ala Ser Asp Glu Ala Asp Cys Pro Thr Arg Phe Pro Asp Gly Ala 3825 3830 3835 3840
- Tyr Cys Gln Ala Thr Met Phe Glu Cys Lys Asn His Val Cys Ile Pro 3845 3850 3855
- Pro Tyr Trp Lys Cys Asp Gly Asp Asp Asp Cys Gly Asp Gly Ser Asp 3860 3865 3870
- Glu Glu Leu His Leu Cys Leu Asp Val Pro Cys Asn Ser Pro Asn Arg 3875 3880 3885
- Phe Arg Cys Asp Asn Asn Arg Cys Ile Tyr Ser His Glu Val Cys Asn 3890 3895 3900
- Gly Val Asp Asp Cys Gly Asp Gly Thr Asp Glu Thr Glu Glu His Cys 3905 3910 3915 3920
- Arg Lys Pro Thr Pro Lys Pro Cys Thr Glu Tyr Glu Tyr Lys Cys Gly 3925 3930 3935
- Asn Gly His Cys Ile Pro His Asp Asn Val Cys Asp Asp Ala Asp Asp 3940 3945 3950
- Cys Gly Asp Trp Ser Asp Glu Leu Gly Cys Asn Lys Gly Lys Glu Arg 3955 3960 3965
- Thr Cys Ala Glu Asn Ile Cys Glu Gln Asn Cys Thr Gln Leu Asn Glu 3970 3975 3980
- Gly Gly Phe Ile Cys Ser Cys Thr Ala Gly Phe Glu Thr Asn Val Phe 3985 3990 3995 4000
- Asp Arg Thr Ser Cys Leu Asp Ile Asn Glu Cys Glu Gln Phe Gly Thr 4005 4010 4015
- Cys Pro Gln His Cys Arg Asn Thr Lys Gly Ser Tyr Glu Cys Val Cys 4020 4025 4030
- Ala Asp Gly Phe Thr Ser Met Ser Asp Arg Pro Gly Lys Arg Cys Ala 4035 4040 4045
- Ala Glu Gly Ser Ser Pro Leu Leu Leu Leu Pro Asp Asn Val Arg Ile 4050 4055 4060
- Arg Lys Tyr Asn Leu Ser Ser Glu Arg Phe Ser Glu Tyr Leu Gln Asp 4065 4070 4075 4080
- Glu Glu Tyr Ile Gln Ala Val Asp Tyr Asp Trp Asp Pro Lys Asp Ile 4085 4090 4095
- Gly Leu Ser Val Val Tyr Tyr Thr Val Arg Gly Glu Gly Ser Arg Phe 4100 4105 4110
- Gly Ala Ile Lys Arg Ala Tyr Ile Pro Asn Phe Glu Ser Gly Arg Asn

4115		4120	412	5
Asn Leu Val 4130	Gln Glu Val As		Leu Lys Tyr Va 4140	l Met Gln Pro
Asp Gly Ile 4145	Ala Val Asp Tr 4150	p Val Gly A	Arg His Ile Ty 4155	r Trp Ser Asp 4160
Val Lys Asn	Lys Arg Ile Gl 4165		Lys Leu Asp Gl 170	y Arg Tyr Arg 4175
	Ile Ser Thr As 1180	p Leu Asp ( 4185	Gln Pro Ala Al	a Ile Ala Val 4190
Asn Pro Lys 4195	Leu Gly Leu Me	et Phe Trp ! 4200	Thr Asp Trp Gl 420	
Lys Ile Glu 4210	Ser Ala Trp Me 421		Glu Asp Arg As 4220	n Ile Leu Val
Phe Glu Asp 4225	Leu Gly Trp Pr 4230	o Thr Gly	Leu Ser Ile As 4235	p Tyr Leu Asn 4240
Asn Asp Arg	Ile Tyr Trp Se 4245		Lys Glu Asp Va 250	l Ile Glu Thr 4255
	Asp Gly Thr As 4260	sp Arg Arg \ 4265	Val Ile Ala Ly	s Glu Ala Met 4270
Asn Pro Tyr 4275	Ser Leu Asp Il	le Phe Glu i 4280	Asp Gln Leu Ty 428	
Lys Glu Lys 4290	Gly Glu Val Ti		Asn Lys Phe Gl 4300	y Gln Gly Lys
Lys Glu Lys 4305	Thr Leu Val Va 4310	al Asn Pro	Trp Leu Thr Gl 4315	n Val Arg Ile 4320
Phe His Gln	Leu Arg Tyr As 4325		Val Pro Asn Le 330	ou Cys Lys Gln 4335
	His Leu Cys Le 4340	eu Leu Arg 4345	Pro Gly Gly Ty	r Ser Cys Ala 4350
Cys Pro Gln 4355	Gly Ser Ser Pl	ne Ile Glu 4360	Gly Ser Thr Th	
Ala Ala Ile 4370	Glu Leu Pro II		Pro Pro Pro Cy 4380	ys Arg Cys Met
His Gly Gly 4385	Asn Cys Tyr Pl 4390	he Asp Glu	Thr Asp Leu Pa 4395	co Lys Cys Lys 4400
Cys Pro Ser	Gly Tyr Thr G		Cys Glu Met A	la Phe Ser Lys 4415
	Pro Gly Thr T 4420	hr Ala Val 4425	Ala Val Leu L	eu Thr Ile Leu 4430
Leu Ile Val 4435	Val Ile Gly A	la Leu Ala 4440	Ile Ala Gly Pi	
Arg Arg Thr	Gly Ser Leu L	eu Pro Ala	Leu Pro Lys L	eu Pro Ser Leu

- Ser Ser Leu Val Lys Pro Ser Glu Asn Gly Asn Gly Val Thr Phe Arg
  4465 4470 4475 4480
- Ser Gly Ala Asp Leu Asn Met Asp Ile Gly Val Ser Gly Phe Gly Pro 4485 4490 4495
- Glu Thr Ala Ile Asp Arg Ser Met Ala Met Ser Glu Asp Phe Val Met 4500 4505 4510
- Glu Met Gly Lys Gln Pro Ile Ile Phe Glu Asn Pro Met Tyr Ser Ala 4515 4520 4525
- Arg Asp Ser Ala Val Lys Val Val Gln Pro Ile Gln Val Thr Val Ser 4530 4540
- Glu Asn Val Asp Asn Lys Asn Tyr Gly Ser Pro Ile Asn Pro Ser Glu 4545 4550 4555 4560
- Ile Val Pro Glu Thr Asn Pro Thr Ser Pro Ala Ala Asp Gly Thr Gln 4565 4570 4575
- Val Thr Lys Trp Asn Leu Phe Lys Arg Lys Ser Lys Gln Thr Thr Asn 4580 4585 4590
- Phe Glu Asn Pro Ile Tyr Ala Gln Met Glu Asn Glu Gln Lys Glu Ser 4595 4600 4605
- Val Ala Ala Thr Pro Pro Pro Ser Pro Ser Leu Pro Ala Lys Pro Lys 4610 4615 4620
- Pro Pro Ser Arg Arg Asp Pro Thr Pro Thr Tyr Ser Ala Thr Glu Asp 4625 4630 4635 4640
- Thr Phe Lys Asp Thr Ala Asn Leu Val Lys Glu Asp Ser Glu Val 4645 4650 4655

#### **REIVINDICACIONES**

- **1.** Uso de megalina humana en una muestra de orina obtenida a partir de un sujeto como marcador de diagnóstico para detectar un trastorno renal que es nefropatía por IgA, en el que se mide el nivel de megalina humana en una muestra de orina y un nivel aumentado de megalina humana indica el trastorno renal.
- **2.** El uso de megalina humana en orina según la reivindicación 1, en el que el trastorno renal se detecta para predicción del pronóstico.
- **3.** El uso de megalina humana en orina según la reivindicación, 2, en el que se efectúa la predicción del pronóstico de un trastorno renal para evaluar disfunciones tubulares.

5

- **4.** El uso de megalina humana en orina según la reivindicación 1, en el que se detecta el trastorno renal para evaluar la graduación del trastorno.
- **5.** El uso de megalina humana en orina según la reivindicación 4, en el que se evalúa la graduación del trastorno renal para evaluar disfunciones tubulares.

Fig. 1

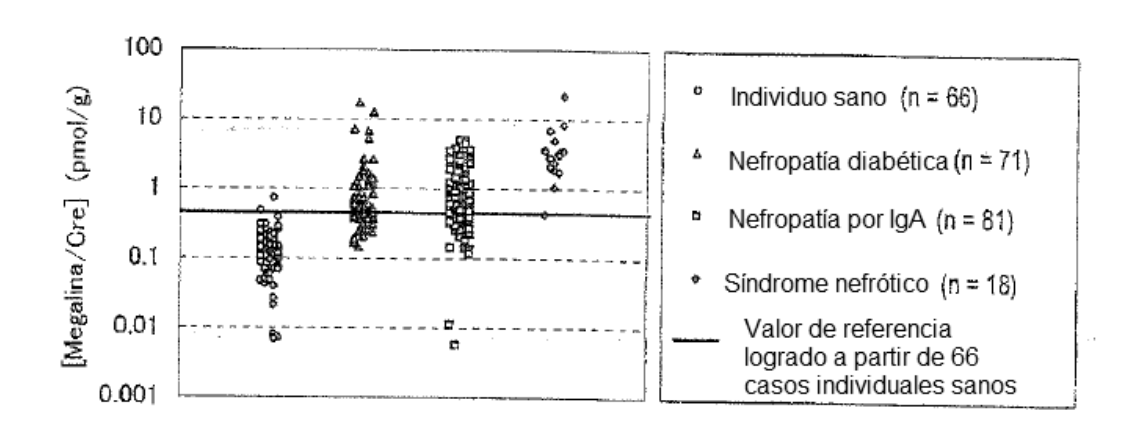
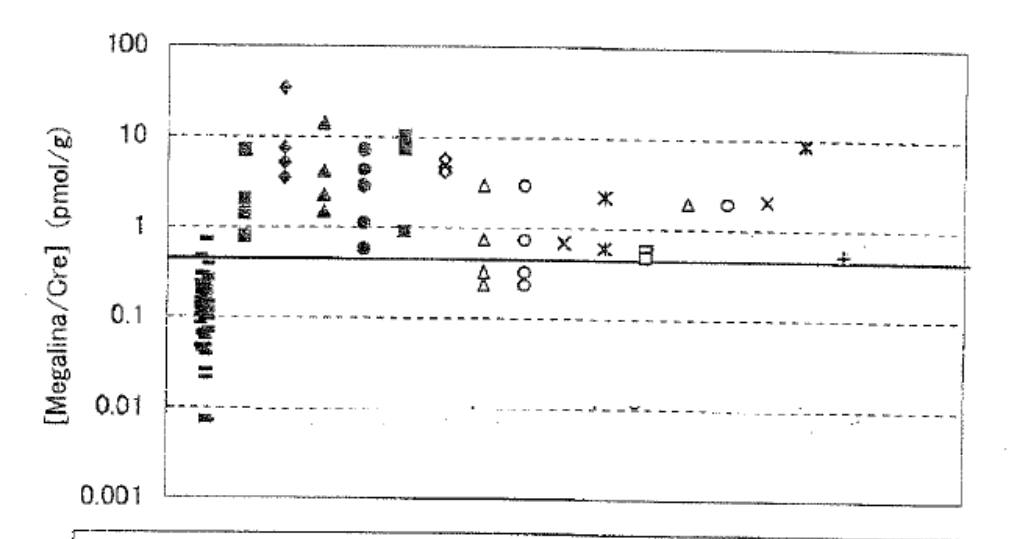


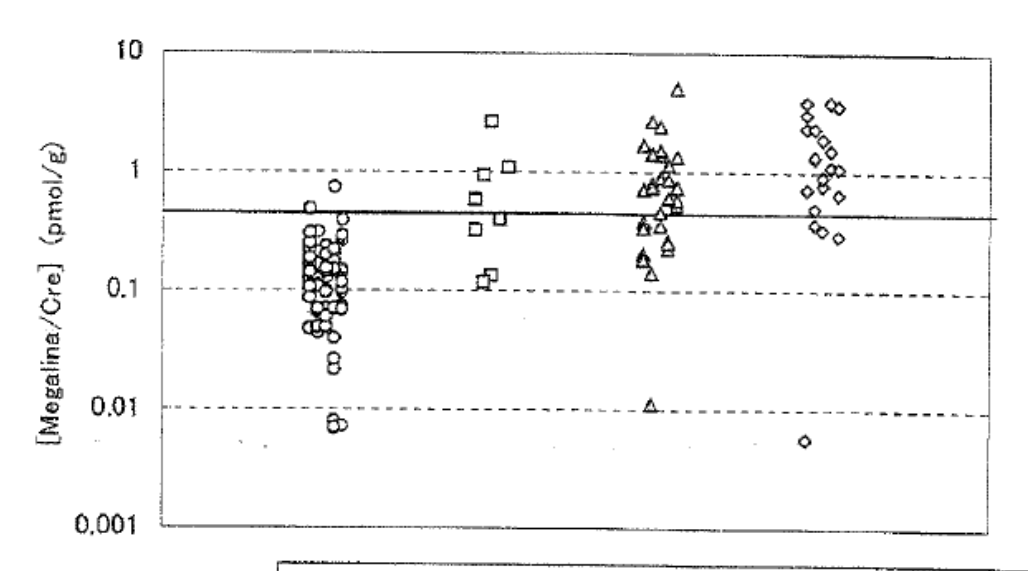
Fig. 2



- Individuo sano (n = 66)
- Nefropatía membranosa (n = 4)
- Glomerulonefritis por lupus (n = 5)
- ♦ Glomerulonefritis crescéntica (n = 3) △
- O Nefroesclerosis (n = 4)
- \* Insuficiencia renal crónica (n = 2)
- △ Escleriasis (n = 1)
- $\times$  Infiltración celular intersticial (n = 1)  $\times$  Mieloma múltiple (n = 1)
- + Nefropatía relacionada con la obesidad (n = 1)

- Glomerulonefritis crónica (n = 4)
- ▲ Glomerulonefritis asociada a ANCA (n = 4)
- Nefritis por púrpura de Hennoch-Schönlein
- (n = 3)Glomeruloesclerosis focal (n = 4)
- Insuficiencia renal aguda (n = 1)
- Lesión glomerular menor (n = 2)
- Trastorno renal postransplante (n = 1)
- - Valor de referencia logrado a partir de 66 casos individuales sanos

Fig. 3



- Individuo sano (n = 66)
- □ IgA-N (grupo de buen pronóstico y de pronóstico relativ. bueno)
- $\triangle$  IgA-N (grupo de pronóstico relativamente malo) (n = 29) (n = 8)
- IgA-N (grupo de mal pronóstico) (n = 22)
- Valor de referencia logrado a partir de 66 casos individuales sanos

Fig. 4

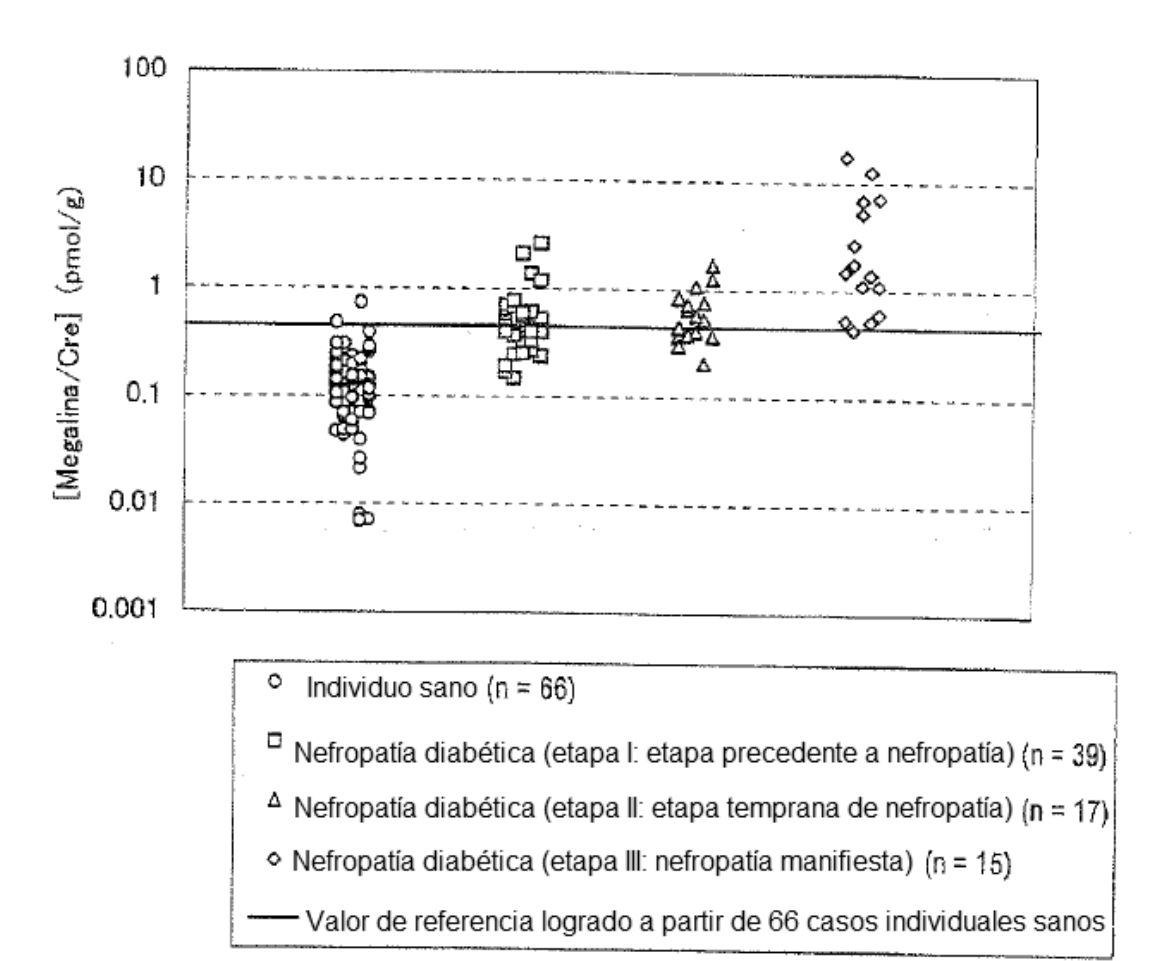


Fig. 5

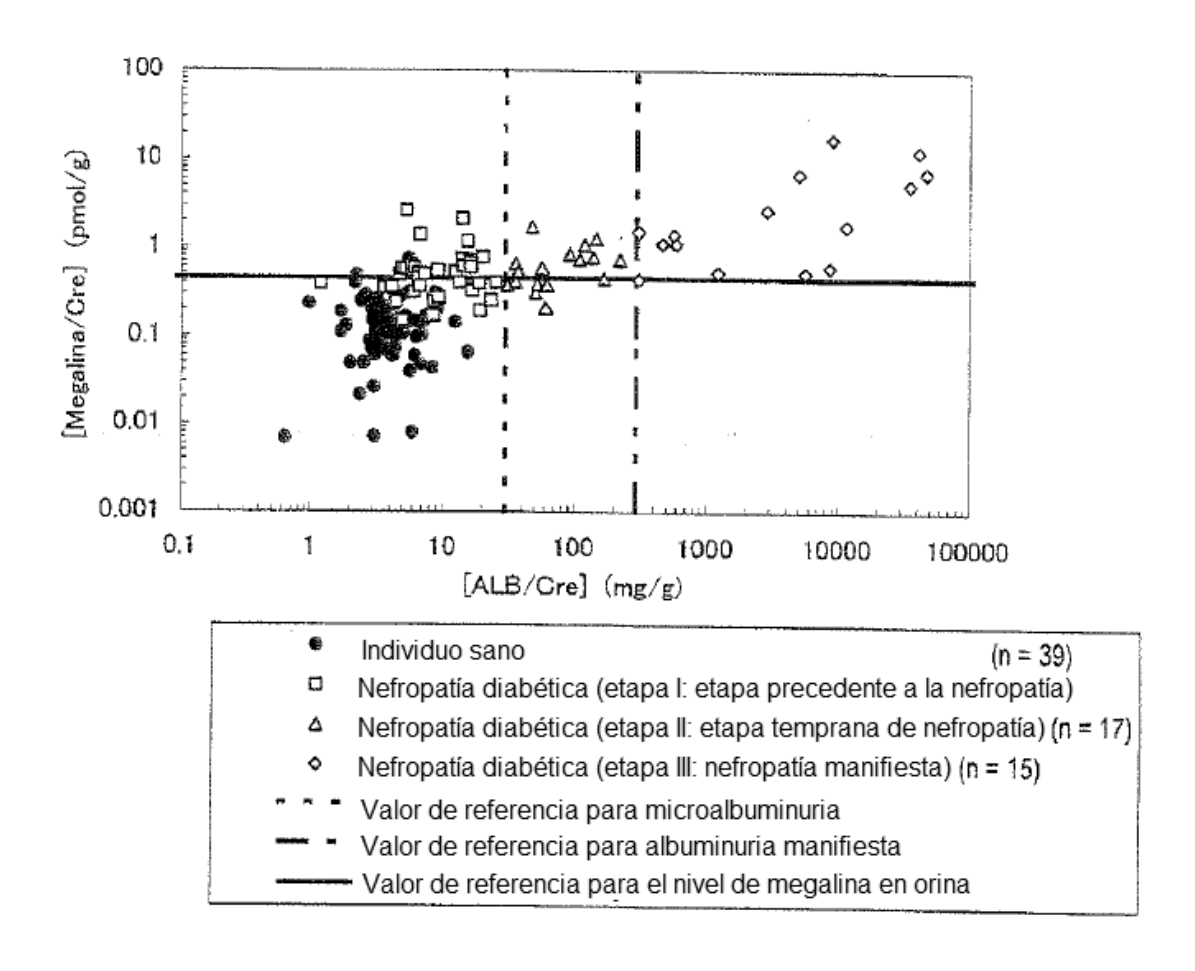
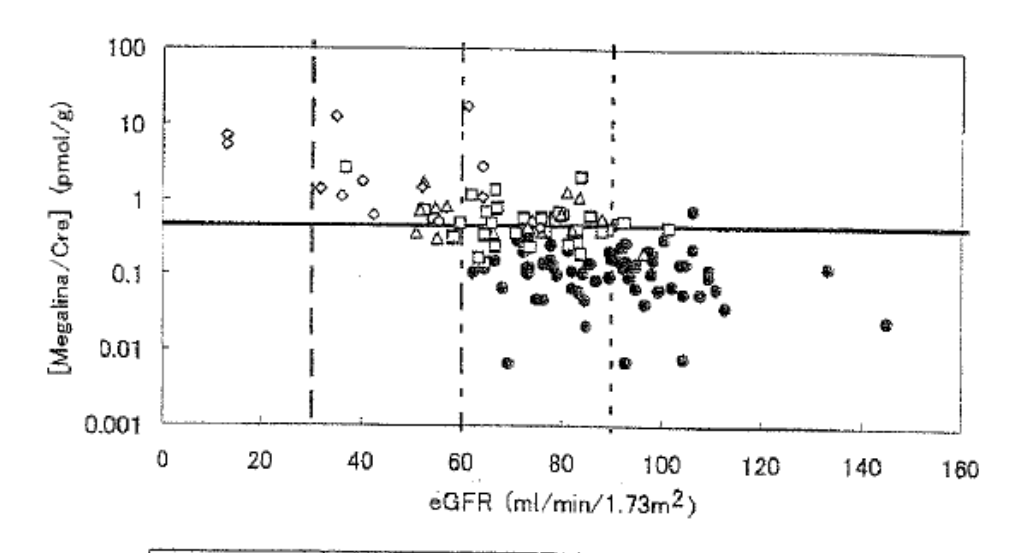


Fig. 6



Individuo sano (n = 66)

- (n = 39)
- Nefropatía diabética (etapa l: etapa precedente a la nefropatía)
- Nefropatía diabética (etapa II: etapa temprana de nefropatía) (n = 16)
- Nefropatía diabética (etapa III: nefropatía manifiesta) (n = 13)
- ---- eGFRde90
- -- eGFR de 60
- eGFR de 30
- Valor de referencia para el nivel de megalina en orina

Fig. 7

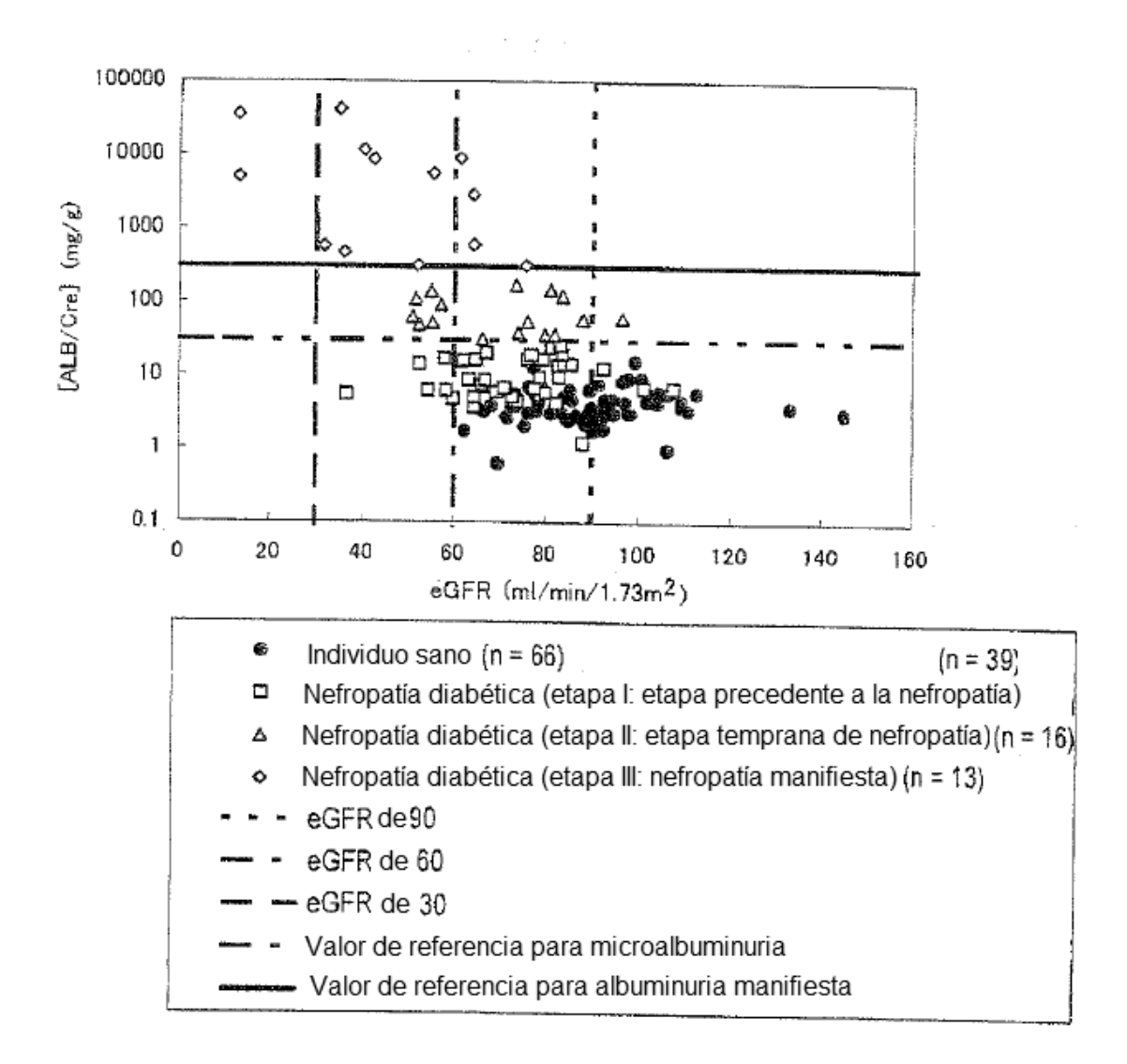
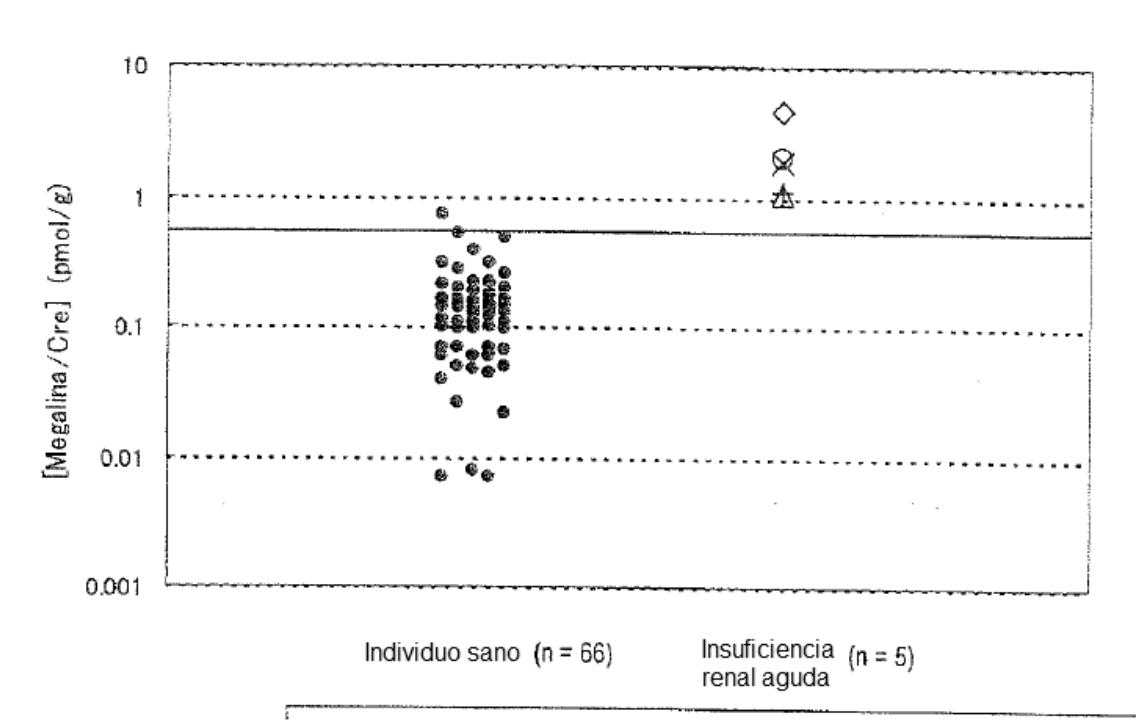


Fig. 8



- Individuo sano
- 0
- Insuficiencia renal aguda asociada a infarto cerebral Insuficiencia renal aguda causada por choque séptico asociado a necrosis tubular
- 3 Insuficiencia renal aguda después de transplante de hígado 4 Insuficiencia renal aguda asociada a neumonía aguda
- o insuficiencia respiratoria Insuficiencia renal aguda asociada a choque cardiogénico
  - Valor de referencia logrado a partir de 66 casos individuales sanos